

УДК 552.16 (571.66)

ГРАНУЛИТЫ КОЛПАКОВСКОЙ СЕРИИ СРЕДИННОГО ХРЕБТА КАМЧАТКИ – МИФ ИЛИ РЕАЛЬНОСТЬ?

© 2008 г. И. А. Тарарин

Дальневосточный геологический институт ДВО РАН

690022 Владивосток, просп. 100-летия Владивостока, 159, Россия; e-mail: itararin@mail.ru

Поступила в редакцию 23.03.2006 г.

Получена после доработки 20.05.2007 г.

Геологические, минералогические и геотермобарометрические данные свидетельствуют о том, что региональный метаморфизм исходных терригенных образований колпаковской серии, залегающей в основании разреза Срединно-Камчатского кристаллического массива, отвечал кианитовой минеральной субфации амфиболитовой фации: температуре 560–660°C и давлению 5.9–6.9 кбар, что обусловливало широкое развитие кианита в высокоглиноземистых гранат-биотитовых плагиогнейсах. Показано, что последующая гранитизация и мигматизация плагиогнейсов происходили на фоне снижения давления (глубинности), свидетельством чему служат реакционные структуры замещения кианита андалузитом как в метаморфических породах, так и в жильных симметаморфических гранитоидах и пегматитах. Температура процессов гранитизации и мигматизации плагиогнейсов оценивается в 620–650°C, а давление (глубинность) – в 1.9–3.0 кбар. Кислотное выщелачивание, сопровождавшее процессы гранитизации и мигматизации, приводило к интенсивному замещению биотита метаморфических и жильных магматических пород силлманитом (фибролитом) и в меньшей степени мусковитом. Установлено, что наиболее высокотемпературные ортопироксен-кордиерит-биотит-ортоклаз-плагиоклаз-кварцевые минеральные ассоциации, отвечающие температуре 830–840°C, формировались в колпаковской серии не в результате регионального метаморфизма ее исходных пород, а образовывались позднее в контактовых ореолах габбро-гранитоидных интрузивов лавкинского интрузивного комплекса олигоцен-миоценового возраста за счет гранат-биотитовых и кианит-гранат-биотитовых плагиогнейсов амфиболитовой фации и поэтому не могут служить доказательством раннего гранулитового этапа метаморфизма ее отложений.

Общепризнано, что глубокометаморфизованные породы гранулитовой фации – типичные образования докембрийских платформенных областей, щитов и срединных массивов и слагают мощные толщи, физико-химические условия метаморфизма которых выдержаны на больших площадях. Предполагалось, что в молодых складчатых сооружениях породы гранулитовой фации представляют собой продукты полиметаморфизма более древних докембрийских образований. Однако исследования последних десятилетий показали, что парагенезисы гранулитовой фации встречаются и в более молодых (в том числе и в мезозойских) комплексах островных дуг и орогенных поясов.

Типичным примером раннемеловых гранулитовых ортогнейсов в островодужных образованиях является комплекс пород Западного Фьюорленда Южного острова Новой Зеландии (Bradshaw, 1988; Clarke et al., 2000; Mattinson et al., 1986), обнажающихся на площади 170 × 20 км. U-Pb и Pb-Pb изотопные данные по циркону и U-Pb и $^{87}\text{Sr}/^{86}\text{Sr}$ по апатиту свидетельствуют о том, что двупироксеновые ортогнейсы Западного Фьюорленда, метаморфизованные в условиях гранулитовой фации ($T = 650\text{--}700^\circ\text{C}$, $P_s \sim 12$ кбар), образо-

вались примерно 116 млн. лет назад за счет габброноритов Дарранского магматического комплекса Восточного Фьюорленда, внедрившихся 137 ± 1 млн. лет назад в надсубдукционной обстановке островной дуги (Mattinson et al., 1986).

Другим примером молодых (66–97 млн. лет по данным U-Pb изотопии циркона) метаморфических ассоциаций гранулитовой фации ($T = 750\text{--}850^\circ\text{C}$, $P_s = 5\text{--}8$ кбар) могут служить выходы этих пород вблизи железнодорожной станции Куинитса (Kwinitsa) в Британской Колумбии Канады (Hollister, 1975). Здесь гранулитовые парагенезисы сформировались за счет базальтов, известковистых и высокоглиноземистых осадочных пород, сохранившихся в провесах кровли над комплексом магматических пород Береговых батолитов Северной Америки.

Метаморфические породы Камчатки, слагающие огромный (250×40 км) Срединно-Камчатский кристаллический массив, испытали метаморфические преобразования в широком диапазоне температур и давления. Ряд исследователей полагает, что колпаковская серия, залегающая в основании метаморфического разреза массива, сложена неоднократно метаморфизованными до-

кембрийскими породами, первичный метаморфизм которых достигал уровня гранулитовой фации (Марков, 1975; Марченко, 1975; Смирнов, 1983; Ханчук, 1985; Шульдинер и др., 1987). Свидетельством этому служили единичные находки в колпаковской серии гранат-ортопироксен-кордиерит-биотит-плагиоклаз-кварцевых ассоциаций (Ханчук, 1985; Шульдинер и др., 1987).

Цель данной работы – показать, что метаморфизм колпаковской серии отвечает термодинамическим условиям амфиболитовой фации, а более высокотемпературные *Opx-Crd-Bt-Or-Pl-Qtz*¹ парагенезисы, в которых иногда сохраняется гранат в виде редких бронированных реликтов в пластице, образовались не в результате регионального метаморфизма исходных пород колпаковской серии, а формировались позднее за счет ее гранат-биотитовых и кианит-гранат-биотитовых пластице и мигматитов амфиболитовой фации во внутренних частях контактовых ореолов массивов лавкинского интрузивного комплекса олигоцен-миоценового возраста (Карта..., 1999).

Большинство исследователей Камчатки полагает, что современная ее структура сформировалась за счет аккреционных процессов конца мезозоя–начала кайнозоя в пределах северо-восточной окраины Евразии (Богданов, 2002; Зоненшайн и др., 1990; Константиновская, 1999, 2002; Меланхолина, 1988; Парфенов и др., 1993, 1999; Рихтер, 1995; Соколов, 1992; Соловьев, 2005; Соловьев и др., 2002; Ставский, 1988; Шапиро, 1995; Konstantinovskaya, 2001; Watson, Fujita, 1985). Согласно этой концепции, определяющее значение в кайнозойской истории региона имела коллизия меловой Озерновско-Валагинской (Кирмасов и др., 2004; Konstantinovskaya, 2001) или Ачайвам-Валагинской (Зинкевич, Цуканов, 1992; Шапиро, 1995; Чехович, Сухов, 2006) энсиматической островной дуги с Азиатским континентом (Konstantinovskaya, 2004; Соловьев, 2005; Soloviev et al., 2002). Предполагается, что северный сегмент этой дуги по Лесновскому надвигу был обдуцирован на отложения континентальной окраины Азии в среднем эоцене (Соловьев и др., 1998, 2002; Шапиро и др., 2001; Чехович, Сухов, 2006), а южный сегмент дуги (Валагинский) и мел-палеогеновые комплексы шельфа и окраинного моря, отделявшие дугу от Азиатской окраины, по Андриановскому шву в раннем эоцене бы-

ли надвинуты на вулканогенно-осадочные образования Срединного хребта Камчатки (Зинкевич и др., 1994; Кирмасов и др., 2004; Константиновская, 2002, 2003; Соловьев, 2005; Soloviev et al., 2002), обусловив интенсивный метаморфизм в по-дошве аллохтона.

Альтернативная точка зрения на геологические события позднего мезозоя–кайнозоя Камчатки высказана А.Е. Шанцером и А.И. Челебаевой (2004), обосновывающими рифтовую модель тектонического развития этого региона, согласно которой определяющим фактором является рифтинг на континентальной или субконтинентальной коре. По их мнению, именно процессы рифтогенеза ответственны за формирование складчато-надвиговой структуры Камчатки, определяя этот период геологического развития как предстроводужный этап (Шанцер, Челебаева, 2004).

Геотектоническая природа метаморфических образований Срединного хребта различными авторами также трактуется по-разному. Одни исследователи рассматривают метаморфические комплексы хребта как продукт позднемелового метаморфизма и гранитизации мезозойских осадочно-вулканогенных образований (Лебедев, 1967; Лебедев, Бондаренко, 1962; Gnibidenko et al., 1974; Lebedev et al., 1967) или как результат эоцено-нового метаморфизма, обусловленного коллизией энсиматической островной дуги с северо-восточной окраиной Азиатского континента (Кирмасов и др., 2004; Соловьев, 2005; Hourigan et al., 2001, 2003). Другие геологи склонны считать их выступом Охотоморского микроконтинента (Объяснительная..., 2000; Зоненшайн и др., 1990; Константиновская, 2003; Ханчук, 1985; Шульдинер и др., 1987; Parfenov, Natal'in, 1986) или Западно-Камчатской микроплиты (Богданов, Добрцов, 2002; Богданов, Чехович, 2002) с протерозойским возрастом фундамента.

Наконец, согласно представлениям (Некрасов, 2000, 2003), Срединно-Камчатский и Ганальский кристаллические массивы представляют собой зональные метаморфические ядра, в которых на современную поверхность выведены метаморфизованные образования допозднемеловой зоны коллизии Охотоморского и Укэляят-Срединно-камчатского континентальных массивов, сформировавших в низких широтах на раннесреднепалеозойском этапе развития Тихоокеанского подвижного пояса протяженный континентальный массив совместно с континентальными блоками Центральной Азии и массивами Северо-Американского континента. Предполагается, что на рубеже мезозоя и кайнозоя в связи с формированием современной океанической литосферы Тихого океана эти континентальные блоки вместе с аккретированными к ним островодужными террейнами испытали дрейф на север и были прикреплены

¹ В статье приняты следующие символы: *And* – андалузит, *Bt* – биотит, *Crd* – кордиерит, *En* – энстатит, *Fs* – ферросилит, *Grt* – гранат (с – центр, г – край кристалла), *Ilm* – ильменит, *Ky* – кианит, *Ms* – мусковит, *Opx* – ортопироксен, *Or* – калиннатровый полевой шпат, *Pl₂₈* – пластице и содержание в нем анортитовой молекулы $X_{An} = \text{Ca}/(\text{Ca} + \text{Na} + \text{K})$, *Qtz* – кварц, *Sil* – силлиманит (фибролит), *Spl* – шпинель, *St* – ставролит, *Wo* – волластонит. $X_{Mg} = \text{Mg}/(\text{Mg} + \text{Fe} + \text{Mn})$.

ны к Азиатскому и Северо-Американскому континентам (Некрасов, 2000, 2003). Эти представления основаны на данных о зональности распределения кварц-полевошпатовых граувакковых песчаников в разрезах Корякско-Камчатского региона, происхождение которых традиционно связывается с размывом Охотско-Чукотского окраинно-континентального вулканического пояса, маркирующего в позднем мезозое окраину Азиатского континента. Однако, как считает Г.Е. Некрасов (2000, 2003), анализ зональности меловых Корякско-Камчатских структур противоречит этой точке зрения, свидетельствуя о том, что кварц-граувакковые отложения Центральной Камчатки, Корякского перешейка и бассейна р. Укэляят являются осадками шельфа и континентального склона пассивной континентальной структуры, отделявшейся в меловое время от Азиатского континента Палано-Янранайским океаническим бассейном.

Возраст, происхождение и фациальные условия метаморфизма исходных отложений Срединного хребта Камчатки являются предметом острых дискуссий в течение уже более 40 лет. Наибольшие споры вызывают вопросы о возрасте протолита и времени метаморфизма исходных пород колпаковской серии (Богданов, Чехович, 2002; Бондаренко и др., 1993; Виноградов, Григорьев, 1994; Виноградов и др., 1991; Геология СССР, 1964; Кирмасов и др., 2004; Кузьмин, Беляцкий, 1999; Кузьмин и др., 2003; Кузьмин, Чухонин, 1980; Лебедев, 1967; Лебедев, Бондаренко, 1962; Некрасов, 2003; Соловьев, 2005; Таарин, 1981, 1988; Ханчук, 1985; Шапиро и др., 1987; Шульдинер и др., 1987; Bindeman et al., 2002; Gnididenko et al., 1974; Hourigan et al., 2001, 2003; Lebedev et al., 1967). Отсутствие в метаморфических породах Срединно-Камчатского массива органических остатков с установленным возрастом заставляло исследователей искать аналогии с подобными образованиями Северо-Востока Азии, Японии и Северной Америки, что приводило к весьма различным выводам о возрасте метаморфических пород массива – от архея до позднего мела (Геология СССР, 1964; Лебедев, 1967 и др.).

Ранние единичные U-Pb изотопные определения по циркону (методом термоионизации свинца) из мигматизированных гранат-биотитовых пластигнейсов центральной части массива отвечают рифейскому возрасту (1300 млн. лет) метаморфических преобразований протолита колпаковской серии (Кузьмин, Чухонин, 1980), хотя K-Ar датировки биотита и пластигназа из этих же пород соответствуют позднемеловому-кайнозойскому времени, что совпадает с результатами K-Ar определений других исследователей.

Согласно Rb-Sr изотопным исследованиям (Виноградов, Григорьев, 1994), охватившим ши-

рокий спектр метаморфических и гранитоидных пород Срединного хребта, в изотопном составе стронция не обнаруживаются признаки существования пород древней сиалической коры, а становление ранней континентальной коры на Камчатке обусловлено метаморфизмом вулканогенно-осадочных пород островодужного типа в раннемеловое (неокомское) время. В конце мела–начале палеогена эти породы подверглись частичной переработке с образованием гранитогнейсовых куполов и гранитоидных массивов (Виноградов, Григорьев, 1994).

Первые и пока единичные Sm-Nd определения пластигназ-роговообманковых кристаллических сланцев, образующих прослои среди пластигнейсов колпаковской серии, отвечают возрасту 951 ± 43 млн. лет (Кузьмин, Беляцкий, 1999), что позволило этим исследователям предполагать поздне-протерозойский возраст протолита колпаковской серии.

Детальные U-Pb SHRIMP исследования метаморфических пород колпаковской серии (Bindeman et al., 2002) показали, что ядра примерно 30% общей популяции проанализированных кристаллов циркона характеризуются архейским и протерозойским (2800–2500 млн. лет) возрастами и образовались за счет размыва древних осадочных пород, накапливаясь в осадках вблизи или на окраине докембрийского кратона на востоке Азиатского континента – источника сноса осадочного материала. По мнению этих исследователей, первичные $^{87}\text{Sr}/^{86}\text{Sr}$ отношения (0.703–0.706) в метаморфических породах Срединно-Камчатского массива, отсутствие в них высоко-Sr полевых шпатов свидетельствуют о молодом возрасте регионального метаморфизма и мигматизации (около 77 млн. лет, Bindeman et al., 2002) позднемезозойского протолита колпаковской серии.

Наконец, самые последние детальные радиоизотопные исследования (датировка циркона и монацита U-Pb SHRIMP методом) показали, что возраст протолита колпаковской серии Срединно-Камчатского массива не древнее раннего мела, а возраст его метаморфических преобразований датируется ранним эоценом – 52 ± 2 млн. лет (Кирмасов и др., 2004; Константиновская, 2002; Соловьев, 2005; Соловьев и др., 2004).

ГЕОЛОГИЧЕСКОЕ ПОЛОЖЕНИЕ ПОРОД КОЛПАКОВСКОЙ СЕРИИ

Метаморфические породы колпаковской серии широко распространены в Срединно-Камчатском массиве, слагая основание его метаморфического разреза. По литологическому составу и положению в разрезе колпаковская серия разделена на две толщи: нижнюю и верхнюю. Исходными образованиями нижней толщи являются

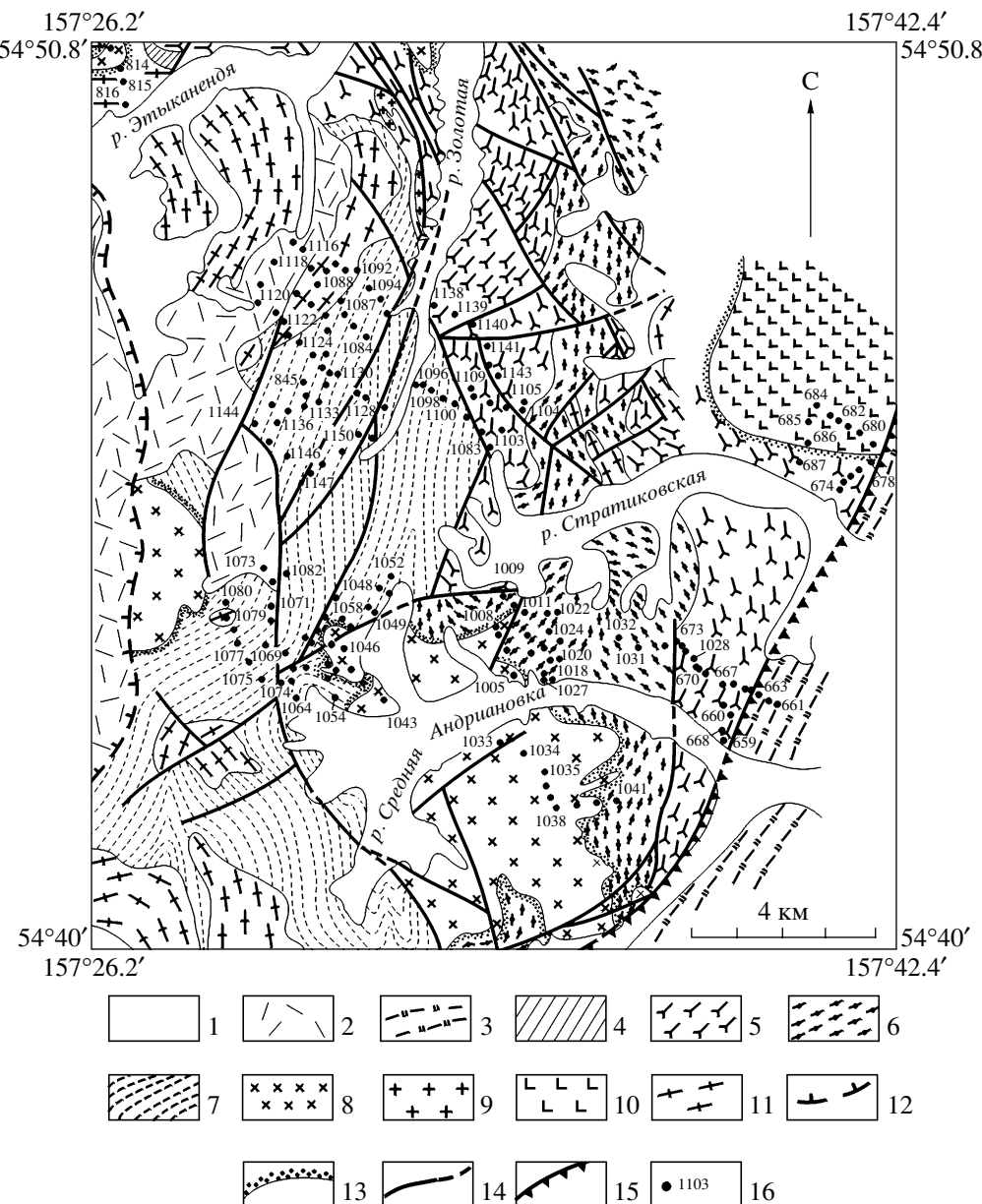


Рис. 1. Схематическая геологическая карта истоков рек Золотая и Средняя Андриановка.

1 – аллювиальные четвертичные отложения; 2 – пемзы и туфы раннечетвертичного вулкана Хангара; 3 – ирунейская свита – метабазальты, метаандезиты, реже метадакиты и их туфы, кремнистые сланцы, граувакки, алевролиты и аргиллиты; 4 – шихтинская свита – гранат-ставролит-биотитовые кристаллические сланцы; 5 – андриановская свита – амфиболиты, эпидотовые амфиболиты, амфиболовые и амфибол-плагиоклазовые сланцы, гранат-амфиболовые плагиогнейсы, гранат-биотит-амфиболовые кварциты и гранатовые амфиболиты; 6, 7 – колпаковская серия: верхняя толща – биотитовые, силлиманит-биотитовые и гранат-биотитовые плагиогнейсы (6), нижняя толща – кианит-гранат-биотитовые и кианит-гранат-двуслюдяные (±ставролит) плагиогнейсы и мигматиты (7); 8 – лавкинский интрузивный комплекс – биотитовые и биотит-амфиболовые гранодиориты, кварцевые диориты, диориты и клинопироксен-амфиболовые габбро-сиениты и монцодиориты, габбро и габбро-нориты (олигоцен–миоцен); 9 – синметаморфические биотитовые и гранат-биотитовые граниты и пегматиты; 10 – дуниты, верлиты и пироксениты; 11 – крутогоровский интрузивный комплекс – гнейсированные биотитовые и гранат-биотитовые гранодиориты и тоналиты; 12 – граница кальдеры вулкана Хангара; 13 – контактовые роговики; 14 – тектонические нарушения; 15 – Лесновско-Андриановский надвиг (Кирмасов и др., 2004); 16 – точки наблюдения.

высокоглиноземистые осадочные породы – глинистые сланцы и алевролиты, а верхней – песчаники, переслаивающиеся с маломощными прослойями глинистых сланцев и алевролитов.

К нижней толще относятся метаморфические породы, развитые в бассейнах рек Квахона, Хейван, Золотая, Правая Коль, Средняя Воровская, Средняя Андриановка и Левый Дукук. Толща

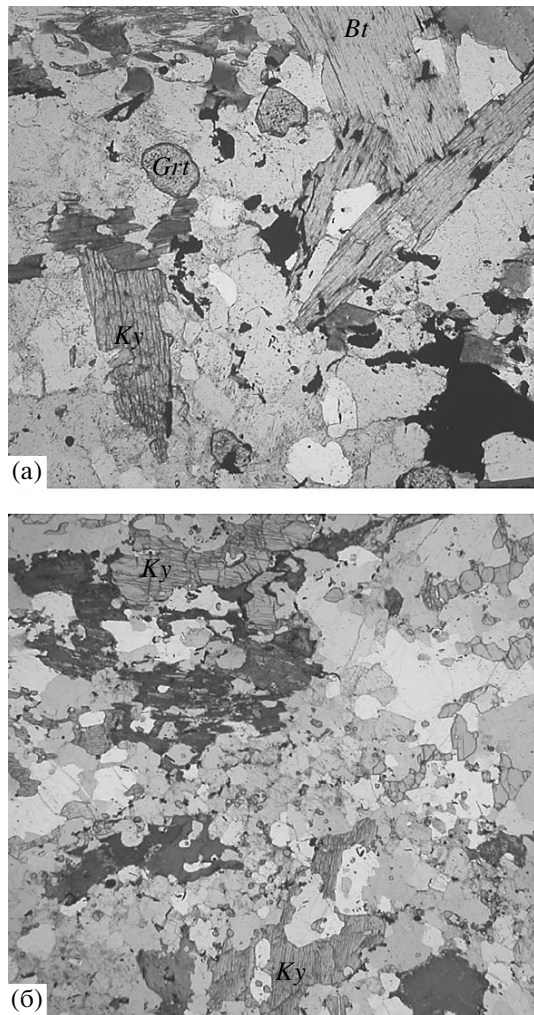


Рис. 2. Кианит-гранат-биотитовый мигматизированный пластигнейс.

Обр. 946/6 (а), 954 (б), среднее течение р. Квахона. Увел. $\times 15$. Без анализатора.

сложена грубо- и тонкополосчатыми гранат-биотитовыми и кианит-гранат-биотитовыми (иногда со ставролитом) пластигнейсами и их мигматизированными разностями, среди которых преобладают высокоглиноземистые кианит-гранат-биотитовые пластигнейсы. В виде прослоев, пластовых тел и будин встречаются “песчанистые” биотитовые и гранат-биотитовые пластигнейсы и богатые кальцием породы: амфиболиты и гранатовые амфиболиты, клинопироксен-амфиболовые основные кристаллические сланцы, известково-силикатные гранат-салит-пластиоклазовые породы, а также оливин-ортопироксен-амфиболовые и оливин-амфиболовые ультраосновные образования. Мощность тел амфиболитов может достигать 30–100 м, а их протяженность – нескольких километров. Большой частью тела амфиболитов будинированы и имеют крупноглыбовое строение. Представительный разрез

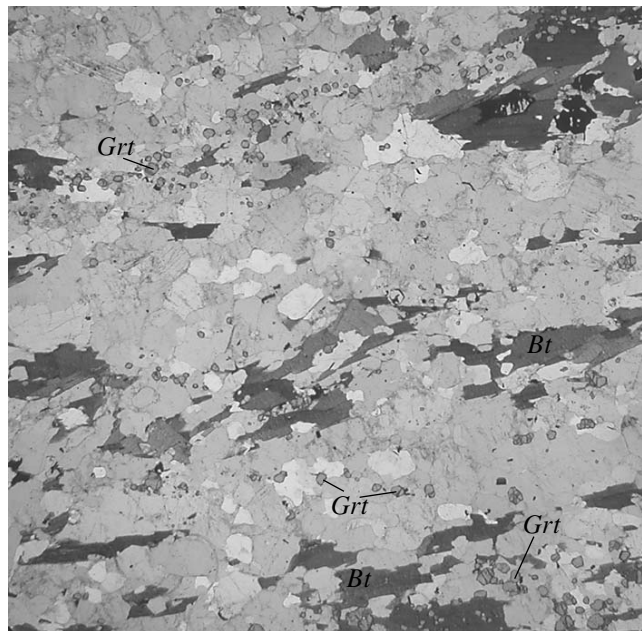


Рис. 3. Гранат-биотитовый мигматизированный пластигнейс.

Обр. 943, среднее течение р. Квахона. Увел. $\times 15$. Без анализатора.

отложений нижней толщи колпаковской серии обнажается на правобережье истоков р. Золотая (т.н. 1096–1101, рис. 1). Мощность нижней толщи оценивается в 2000 м.

Отложения верхней толщи колпаковской серии пользуются широким распространением в северной и центральной частях Срединно-Камчатского массива, протягиваясь полосой шириной 3–5 км из бассейна р. Квахона и Средняя Андриановка через верховья р. Стратиковская в бассейн верхнего течения р. Золотая. Верхняя толща сложена однообразными биотитовыми, гранат-биотитовыми и силлиманит-гранат-биотитовыми пластигнейсами и мигматитами, среди которых изредка отмечаются маломощные прослои высокоглиноземистых кианитсодержащих пластигнейсов и амфиболитов. Общая мощность отложений верхней толщи составляет около 900 м.

ПЕТРОГРАФИЯ, МИНЕРАЛОГИЯ И Р-Т УСЛОВИЯ МЕТАМОРФИЗМА

Высокоглиноземистые кианит-гранат-биотитовые пластигнейсы и их слабо мигматизированные разности – серые и темно-серые породы с порфиробластами голубого кианита размером от 1–2 до 5–10 мм (рис. 2). В составе пород основную роль играют кианит (1–20 об. %), гранат (3–10 об. %), ставролит (0–10 об. %), биотит (5–15 об. %), пластиоклаз (40–50 об. %) и кварц (15–25 об. %). В мигматизированных пластигнейсах в небольших количествах появляется калиевый полевой

Таблица 1. Состав минералов (мас. %), температура гранат-биотитового равновесия¹⁾ и давление бедных кальцием метаморфических пород колпаковской серии

| Образец | Минерал | SiO ₂ | TiO ₂ | Al ₂ O ₃ | FeO | MnO | MgO | CaO | Na ₂ O | K ₂ O | Сумма | X_{Mg} | T, °C | $P_s, 10^8 \text{ Па}$ | Парагенезис | | |
|---------|----------------|------------------|------------------|--------------------------------|-------|------|-------|------|-------------------|------------------|--------|---------------------|-------------------|--|---|--|--|
| | | | | | | | | | | | | | | | | | |
| 218 | Grt_c | 36.71 | 0.00 | 21.65 | 34.94 | 3.35 | 2.07 | 1.59 | 0.00 | 100.34 | 0.088 | 586 | 6.3 ²⁾ | $\text{Ky}-\text{Grt}-\text{St}-\text{Bt}-\text{Ms}-\text{Pl}_{21}-\text{Qtz}$ | | | |
| | Grt_t | 37.05 | 0.00 | 21.93 | 35.60 | 1.04 | 2.56 | 2.61 | 0.00 | 100.79 | 0.111 | | | | | | |
| | Bt | 35.80 | 1.59 | 20.89 | 22.35 | 0.04 | 8.31 | 0.00 | 0.37 | 8.55 | 97.90 | 0.398 | | | | | |
| | Pl | 63.06 | 0.00 | 23.25 | 0.15 | 0.00 | 0.00 | 4.48 | 9.05 | 0.15 | 100.14 | 0.213 ⁴⁾ | | | | | |
| | Grt_c | 37.02 | 0.00 | 21.20 | 30.02 | 6.94 | 2.54 | 2.30 | 0.00 | 100.02 | 0.109 | 622 | 6.9 ²⁾ | $\text{Ky}-\text{Grt}-\text{Bt}-\text{Pl}_{32}-\text{Qtz}$ | | | |
| | Grt_t | 37.10 | 0.00 | 21.34 | 32.39 | 0.24 | 5.08 | 3.62 | 0.00 | 0.00 | 99.77 | 0.217 | | | | | |
| | Bt | 36.94 | 1.37 | 18.23 | 16.81 | 0.04 | 11.48 | 0.00 | 0.28 | 8.25 | 93.40 | 0.548 | | | | | |
| | Pl | 61.15 | 0.00 | 24.20 | 0.15 | 0.00 | 0.00 | 5.63 | 8.89 | 0.06 | 100.08 | 0.256 ⁴⁾ | | | | | |
| 220 | Grt_c | 36.90 | 0.00 | 20.93 | 33.12 | 4.10 | 3.17 | 1.42 | 0.00 | 0.00 | 99.64 | 0.131 | 601 | 5.9 ²⁾ | $\text{Ky}-\text{Grt}-\text{Bt}-\text{Pl}_{28}-\text{Qtz}$ | | |
| | Grt_t | 37.22 | 0.00 | 21.18 | 34.47 | 1.08 | 2.88 | 2.74 | 0.00 | 0.00 | 99.57 | 0.126 | | | | | |
| | Bt | 34.18 | 1.93 | 19.35 | 20.50 | 0.06 | 8.22 | 0.00 | 0.12 | 9.04 | 93.41 | 0.416 | | | | | |
| | Pl | 61.46 | 0.00 | 24.42 | 0.17 | 0.00 | 0.00 | 5.88 | 8.30 | 0.10 | 100.33 | 0.280 ⁴⁾ | | | | | |
| | Grt_c | 37.04 | 0.00 | 21.01 | 37.69 | 1.33 | 2.42 | 1.70 | 0.00 | 0.00 | 101.19 | 0.099 | 566 | 4.6 ²⁾ | $(\text{Ky} \longrightarrow \text{And})-\text{Grt}-\text{St}-\text{Bt}-\text{Ms}-\text{Pl}_{32}-\text{Qtz}$ | | |
| | Grt_t | 37.37 | 0.00 | 21.31 | 36.77 | 1.50 | 2.18 | 2.24 | 0.00 | 0.00 | 100.97 | 0.093 | | | | | |
| | Bt | 34.02 | 2.25 | 19.70 | 21.33 | 0.04 | 7.21 | 0.00 | 0.26 | 9.09 | 93.90 | 0.376 | | | | | |
| | Pl | 62.09 | 0.00 | 23.93 | 0.10 | 0.00 | 0.00 | 5.23 | 8.55 | 0.18 | 100.08 | 0.250 ⁴⁾ | | | | | |
| 412-II | Grt_c | 36.92 | 0.00 | 21.38 | 35.24 | 2.31 | 2.98 | 1.79 | 0.00 | 0.00 | 100.62 | 0.124 | 593 | 3.7 ²⁾ | $(\text{Ky} \longrightarrow \text{And})-\text{Grt}-\text{Bt}-\text{Ms}-\text{Pl}_{25}-\text{Qtz}$ | | |
| | Grt_t | 37.03 | 0.00 | 21.71 | 35.35 | 2.94 | 2.49 | 1.60 | 0.00 | 0.00 | 101.02 | 0.104 | | | | | |
| | Bt | 34.12 | 2.24 | 20.05 | 21.05 | 0.13 | 7.46 | 0.00 | 0.32 | 8.68 | 94.05 | 0.386 | | | | | |
| | Pl | 62.02 | 0.00 | 24.04 | 0.09 | 0.00 | 0.00 | 5.39 | 8.49 | 0.24 | 100.27 | 0.248 ⁴⁾ | | | | | |
| | Grt_c | 37.08 | 0.00 | 21.12 | 34.88 | 2.33 | 3.55 | 1.71 | 0.00 | 0.00 | 100.13 | 0.145 | 619 | 4.5 ²⁾ | $(\text{Ky} \longrightarrow \text{And})-\text{Grt}-\text{Bt}-\text{Ms}-\text{Pl}_{29}-\text{Qtz}$ | | |
| | Grt_t | 37.14 | 0.00 | 21.08 | 34.54 | 3.47 | 3.34 | 1.93 | 0.00 | 0.00 | 101.50 | 0.135 | | | | | |
| | Bt | 34.84 | 2.32 | 19.19 | 19.57 | 0.06 | 8.26 | 0.00 | 0.29 | 9.19 | 93.72 | 0.429 | | | | | |
| | Pl | 61.53 | 0.00 | 24.23 | 0.24 | 0.00 | 0.00 | 6.06 | 8.26 | 0.18 | 100.50 | 0.286 ⁴⁾ | | | | | |
| 1131 | Grt_c | 36.21 | 0.11 | 21.60 | 34.24 | 4.14 | 1.39 | 2.99 | 0.00 | 0.00 | 100.69 | 0.061 | 543 | 5.4 ³⁾ | $\text{Grt}-\text{St}-\text{Bt}-\text{Ms}-\text{Pl}_{20}-\text{Qtz}$ | | |
| | Grt_t | 36.16 | 0.03 | 21.41 | 38.93 | 0.38 | 1.85 | 2.51 | 0.00 | 0.00 | 101.28 | 0.077 | | | | | |
| | Bt | 34.03 | 1.56 | 20.77 | 23.17 | 0.02 | 7.02 | 0.00 | 0.22 | 9.08 | 95.87 | 0.351 | | | | | |
| | Ms | 44.97 | 0.21 | 36.63 | 0.76 | 0.00 | 0.33 | 0.02 | 1.84 | 9.64 | 94.37 | 0.436 | | | | | |
| | Pl | 64.39 | 0.00 | 23.08 | 0.06 | 0.03 | 0.00 | 4.23 | 9.09 | 0.10 | 100.98 | 0.203 ⁴⁾ | | | | | |
| | Grt_c | 37.41 | 0.00 | 22.06 | 35.80 | 1.44 | 3.05 | 1.96 | 0.00 | 0.00 | 101.72 | 0.127 | 576 | 4.1 ³⁾ | $\text{Grt}-\text{Bt}-\text{Ms}-\text{Pl}_{20}-\text{Qtz}$ | | |
| | Grt_t | 37.95 | 0.00 | 21.07 | 34.92 | 4.16 | 2.06 | 1.41 | 0.00 | 0.00 | 101.57 | 0.086 | | | | | |
| | Bt | 34.93 | 2.47 | 20.90 | 20.98 | 0.09 | 6.76 | 0.00 | 0.25 | 8.46 | 94.84 | 0.364 | | | | | |
| 1087 | Ms | 43.37 | 0.36 | 36.20 | 0.86 | 0.00 | 0.40 | 0.00 | 0.77 | 10.46 | 92.42 | 0.455 | | | | | |
| | Pl | 63.42 | 0.00 | 23.05 | 0.06 | 0.00 | 0.00 | 4.24 | 9.09 | 0.22 | 100.08 | 0.203 ⁴⁾ | | | | | |

Таблица 1. Окончание

| Образец | Минерал | SiO ₂ | TiO ₂ | Al ₂ O ₃ | FeO | MnO | MgO | CaO | Na ₂ O | K ₂ O | Сумма | X _{Mg} | T, °C | P _s , 10 ⁸ Па | Паратензис |
|---------|----------------------|------------------|------------------|--------------------------------|-------|------|-------|------|-------------------|------------------|--------|---------------------|-------|-------------------------------------|---|
| 1180/3 | Grt _c | 37.02 | 0.00 | 22.15 | 36.97 | 2.06 | 2.46 | 1.03 | 0.00 | 0.00 | 101.69 | 0.097 | 577 | 4.43) | Grt-Si-Bt-M ₃ -Pl ₁₆ -Qtz |
| | Grt _r | 37.30 | 0.00 | 21.77 | 35.19 | 3.41 | 2.04 | 1.34 | 0.00 | 0.00 | 101.05 | 0.086 | | | |
| | Bt | 34.31 | 2.15 | 20.98 | 21.39 | 0.03 | 6.74 | 0.00 | 0.06 | 8.69 | 94.35 | 0.359 | | | |
| | Ms | 45.64 | 0.88 | 36.28 | 0.83 | 0.01 | 0.46 | 0.00 | 0.58 | 8.99 | 93.67 | 0.496 ⁴⁾ | | | |
| | Pl | 63.78 | 0.00 | 22.83 | 0.49 | 0.00 | 0.00 | 3.43 | 9.95 | 0.08 | 100.56 | 0.159 ⁴⁾ | | | |
| 5524/1 | Grt _c | 37.52 | 0.00 | 21.25 | 34.89 | 0.99 | 4.15 | 2.15 | 0.00 | 0.00 | 100.95 | 0.171 | 658 | 4.32) | Sil-Grt-Bt-Pl ₃₁ -Qtz |
| | Grt _r | 37.90 | 0.00 | 21.10 | 34.75 | 1.76 | 3.51 | 1.83 | 0.00 | 0.00 | 100.85 | 0.146 | | | |
| | Bt | 34.66 | 3.93 | 18.79 | 20.72 | 0.00 | 7.71 | 0.00 | 0.29 | 9.20 | 95.60 | 0.399 | | | |
| | Pl | 59.66 | 0.00 | 25.52 | 0.22 | 0.00 | 0.00 | 6.55 | 8.14 | 0.09 | 100.18 | 0.306 ⁴⁾ | | | |
| 893 | Grt _c | 37.18 | 0.01 | 21.51 | 31.58 | 7.93 | 2.75 | 1.23 | 0.00 | 0.00 | 101.89 | 0.110 | 607 | 3.62) | Sil-Grt-Bt-Pl ₂₂ -Qtz |
| | Grt _r | 37.14 | 0.01 | 21.17 | 30.93 | 8.77 | 2.30 | 1.24 | 0.00 | 0.00 | 101.26 | 0.093 | | | |
| | Bt | 33.58 | 2.48 | 21.15 | 21.39 | 0.37 | 7.45 | 0.00 | 0.26 | 9.72 | 96.40 | 0.379 | | | |
| | Pl | 62.08 | 0.00 | 23.79 | 0.04 | 0.00 | 0.00 | 4.85 | 9.14 | 0.25 | 100.15 | 0.224 ⁴⁾ | | | |
| 466 | Grt _c | 37.28 | 0.01 | 21.03 | 34.62 | 1.93 | 4.09 | 0.92 | 0.00 | 0.00 | 99.88 | 0.166 | 619 | 2.42) | Sil-Grt-Bt-Pl ₂₇ -Qtz |
| | Grt _r | 37.33 | 0.01 | 21.06 | 34.73 | 4.88 | 1.96 | 0.95 | 0.00 | 0.00 | 100.92 | 0.081 | | | |
| | Bt | 33.89 | 3.71 | 19.52 | 22.70 | 0.18 | 5.71 | 0.00 | 0.18 | 9.64 | 95.33 | 0.308 | | | |
| | Pl | 61.46 | 0.00 | 25.24 | 0.03 | 0.00 | 0.00 | 5.76 | 8.40 | 0.45 | 101.35 | 0.269 ⁴⁾ | | | |
| 447-A | Grt _c (1) | 37.58 | 0.00 | 21.02 | 34.49 | 3.90 | 3.51 | 1.30 | 0.00 | 0.00 | 101.80 | 0.140 | 633 | 2.82) | Sil-Grt-Bt-Pl ₂₁ -Or-Qtz |
| | Grt _r (1) | 37.35 | 0.00 | 21.44 | 33.92 | 5.21 | 2.30 | 1.27 | 0.00 | 0.00 | 101.49 | 0.095 | | | |
| | Grt _c (2) | 37.29 | 0.00 | 21.07 | 33.85 | 4.05 | 3.41 | 1.23 | 0.00 | 0.00 | 100.90 | 0.138 | 627 | 2.82) | |
| | Grt _r (2) | 37.18 | 0.00 | 21.11 | 34.08 | 5.19 | 2.67 | 1.36 | 0.00 | 0.00 | 101.59 | 0.108 | | | |
| | Bt | 34.17 | 2.95 | 20.18 | 22.04 | 0.10 | 7.28 | 0.15 | 0.50 | 9.53 | 96.90 | 0.369 | | | |
| | Pl | 63.00 | 0.00 | 23.41 | 0.22 | 0.00 | 0.00 | 4.45 | 9.03 | 0.23 | 100.34 | 0.211 ⁴⁾ | | | |
| 451 | Grt _c | 38.03 | 0.00 | 22.41 | 32.99 | 1.88 | 4.95 | 1.11 | 0.00 | 0.00 | 101.37 | 0.202 | 659 | 2.32) | Sil-Grt-Bt-Pl ₂₇ -Qtz |
| | Grt _r | 37.72 | 0.00 | 22.34 | 32.93 | 2.69 | 4.31 | 0.91 | 0.00 | 0.00 | 100.80 | 0.178 | | | |
| | Bt | 34.22 | 2.50 | 19.92 | 18.63 | 0.01 | 8.93 | 0.02 | 0.05 | 8.77 | 93.05 | 0.461 | | | |
| | Pl | 60.43 | 0.00 | 25.04 | 0.36 | 0.00 | 0.00 | 5.60 | 8.22 | 0.16 | 99.81 | 0.271 ⁴⁾ | | | |
| | Grt _c | 37.58 | 0.00 | 21.62 | 31.25 | 6.54 | 2.28 | 0.96 | 0.00 | 0.00 | 100.23 | 0.097 | 642 | 1.92) | |
| | Grt _r | 37.18 | 0.00 | 21.60 | 30.58 | 6.86 | 2.08 | 1.04 | 0.00 | 0.00 | 99.34 | 0.099 | | | |
| | Bt | 34.99 | 4.56 | 19.36 | 20.90 | 0.17 | 6.06 | 0.00 | 0.06 | 10.34 | 96.44 | 0.339 | | | |
| | Pl | 61.49 | 0.00 | 24.64 | 0.28 | 0.00 | 0.00 | 5.76 | 8.29 | 0.32 | 100.78 | 0.272 ⁴⁾ | | | |
| 473 | Grt _c | 37.45 | 0.00 | 21.80 | 30.43 | 1.10 | 5.26 | 3.33 | 0.00 | 0.00 | 99.48 | 0.229 | 665 | — | Sil-Grt-Bt-Pl ₃₉ -Qtz |
| | Grt _r | 37.61 | 0.00 | 21.19 | 33.14 | 1.35 | 4.90 | 1.56 | 0.00 | 0.00 | 99.76 | 0.202 | | | |
| | Bt | 36.29 | 3.29 | 17.56 | 18.94 | 0.08 | 10.05 | 0.00 | 0.41 | 8.55 | 95.17 | 0.485 | | | |
| | Pl | 58.09 | 0.00 | 26.61 | 0.41 | 0.00 | 0.00 | 8.24 | 6.97 | 0.22 | 100.54 | 0.390 ⁴⁾ | | | |

Примечание. Grt_c (1), Grt_r (1), Grt_c (2), Grt_r (2) – центр (2) кристаллов граната; Ky – And – замещение кианита анальгитом.

Места отбора образцов: обр. 218, 220 – истоки первого левого притока р. Средняя Воровская обр. 412-И – истоки р. Левая Коль, обр. 1087, 1124, 1131, 1149 – верховья р. Золотая; обр. 309 – истоки р. Левый Дукук; обр. 1180/3 – правобережье среднего течения р. Квахона; обр. 1180/3 – левобережье верхнего течения р. Правый Кихчук; обр. 5524/1 – левобережье р. Левая Воровская; обр. 447-А, 451, 466, 473, 490 – р. Левая приток р. Правая Воровская. Анализы выполнены на микроскопии ДВО РАН.

¹⁾ Температура гранат-биотитового равновесия по Grt-Pl-Al₂SiO₅ и ²⁾ по Grt-Pl-Bt-M₅ геобарометрам (Биогит-гранат-кордиеритовые... 1983).

³⁾ Давление: ²⁾ по Grt-Pl-Al₂SiO₅ и ³⁾ по Grt-Pl-Bt-M₅ геобарометрам (Авченко, 1990).

⁴⁾ Содержание аноритового компонента X_{An} = Ca/(Ca + Na + K).

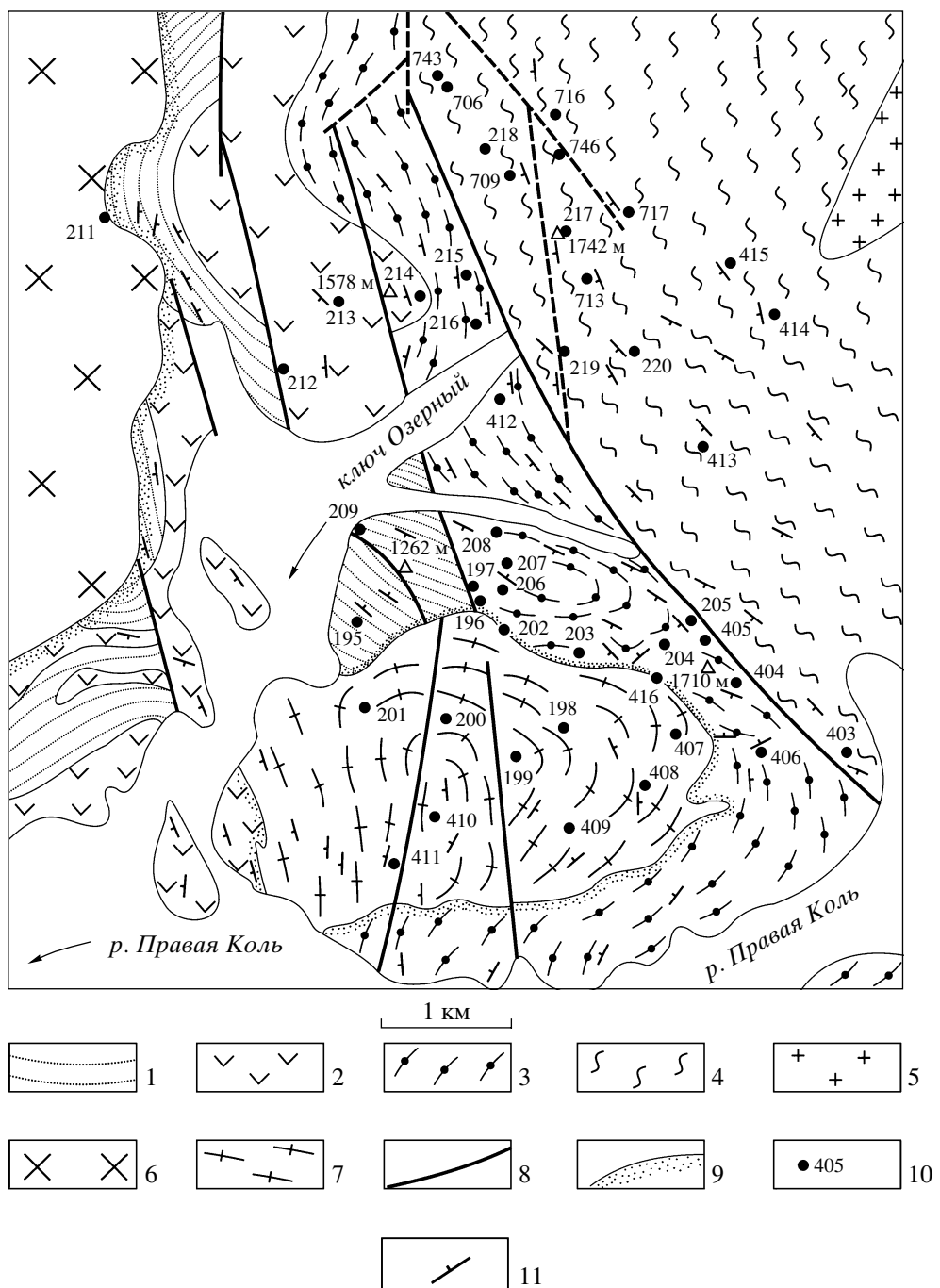


Рис. 4. Схематическая геологическая карта истоков р. Правая Коль, названия рек приведены согласно (Карта..., 1999). 1 – хозонская свита – аспидные сланцы, филлиты, метапесчаники; 2 – квахонская свита – метапикролиты, метапикритобазальты, метабазальты; 3 – хейванская свита – биотитовые, биотит-мусковитовые, андалузит-гранат-двуслюдянные кристаллические сланцы, филлиты, реже узловатые сланцы, аспидные сланцы и метапесчаники; 4 – колпаковская серия – кианит-гранат-биотитовые (\pm ставролит) пластины, участками мигматизированные, амфиболиты и гранатовые амфиболиты, будины гранат-клинопироксен-пластины из известково-силicateных пород; 5 – синметаморфические биотит-мусковитовые, гранат-двуслюдянные граниты и пегматиты; 6 – гранодиориты, кварцевые диориты и диориты лавкинского интрузивного комплекса (олигоцен–миоцен); 7 – гнейсированные гранодиориты и тоналиты Кольского плутония; 8 – тектонические нарушения; 9 – контактовые роговики; 10 – точки наблюдения; 11 – элементы залегания слоистости, сланцеватости, гнейсовидности.

шпат. Аксессорные минералы: апатит, турмалин, циркон, рудный. Гранат-биотитовые мигматизированные пластигнейсы (рис. 3) состоят из мелких округлых кристаллов граната, биотита, пластиоклаза и кварца, к которым в небольшом количестве присоединяется силлиманит (фибролит), замещающий биотит при кислотном выщелачивании.

Состав минералов пластигнейсов и мигматитов нижней толщи колпаковской серии приведен в табл. 1. Гранаты (обр. 218, 220, 412-И, табл. 1) немигматизированных и слабо мигматизированных пластигнейсов истоков рек Правая Коль и Средняя Воровская в центральной части Срединно-Камчатского массива (рис. 4) характеризуются оптической зональностью (рис. 5) и сравнительно высокой железистостью (Авченко и др., 1978; Тарапин, 1981; Тарапин, Авченко, 1983; Тарапин, Чубаров, 1979), а состав пластиоклаза варьирует в пределах Pl_{21-28} , отвечая в среднем Pl_{25} . Оптический характер зональности гранатов слабо мигматизированных кианит-гранат-ставролит-биотитовых пластигнейсов позволил предполагать их образование при полиметаморфических процессах, причем наложенный региональный метаморфизм происходил в условиях значительно большей глубинности (давления), чем ранний kontaktовый метаморфизм (Тарапин, Авченко, 1983; Тарапин, Чубаров, 1979).

Как видно из табл. 1, физико-химические параметры регионального метаморфизма отложений колпаковской серии отвечают условиям кианитовой минеральной субфации амфиболитовой фации: температуре 560–660°C и давлению 5.9–6.9 кбар, что обусловливает широкое развитие кианита в исходных высокоглиноземистых породах серии (Тарапин, 1981, 1988).

ПРОЦЕССЫ ГРАНИТИЗАЦИИ И МИГМАТИЗАЦИИ МЕТАМОРФИЧЕСКИХ ПОРОД

Последующая гранитизация и мигматизация пластигнейсов с формированием гнейсово-купольных структур были очень широко развиты в Срединно-Камчатском массиве и происходили на фоне значительного снижения давления (глубинности) метаморфизма, минералогическим свидетельством чему служат реакционные структуры замещения кианита андалузитом как в метаморфических породах, так и в жильных синметаморфических гранитах и пегматитах. Наиболее наглядно процессы замещения кианита андалузитом при процессах гранитизации пластигнейсов проявлены в северной части массива в бассейнах рек Золотая и Средняя Андриановка (рис. 1), обусловливая снижение давления метаморфизма до 3.5–4.5 кбар (обр. 1087, 1131, 1149, табл. 1). Самые поздние синметаморфические жильные гра-

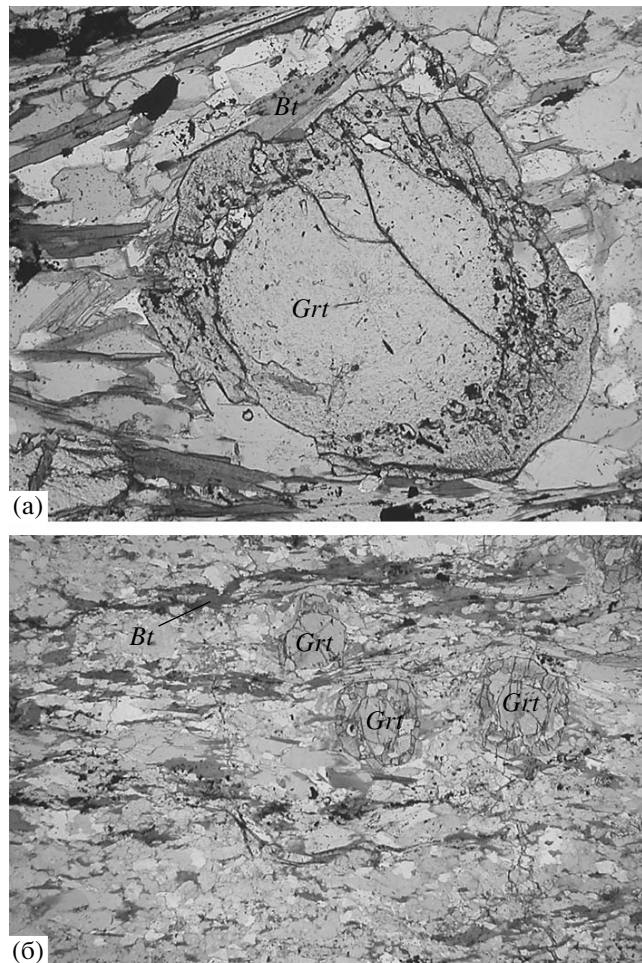


Рис. 5. Оптическая зональность граната слабомигматизированных кианит-гранат-ставролит-биотит-мульковитовых пластигнейсов колпаковской серии. Обр. 219-Ж (а). Увел. ×65. Без анализатора. Обр. 218 (б). Увел. ×15. Без анализатора. Истоки р. Средняя Воровская.

нитоидные породы этого района содержат только андалузит нередко в ассоциации с кордиеритом (рис. 6, 7).

Среди мигматитов преимущественным развитием пользуются послойные мигматиты, состоящие из перемежающихся полосок пластигнейсового субстрата и жильного гранитоидного материала. Более редки агматитовые и другие разновидности мигматизированных пород.

В пределах гнейсовых куполов широким распространением пользуются теневые мигматиты или теневые гранитоиды, имеющие постепенные переходы в мигматизированные пластигнейсы и послойные мигматиты. Эти образования характерны для колпаковской серии среднего течения р. Левая (рис. 8) в центральной части массива, где мигматизированные высокоглиноземистые породы обнажаются в ядре и северном крыле гранито-

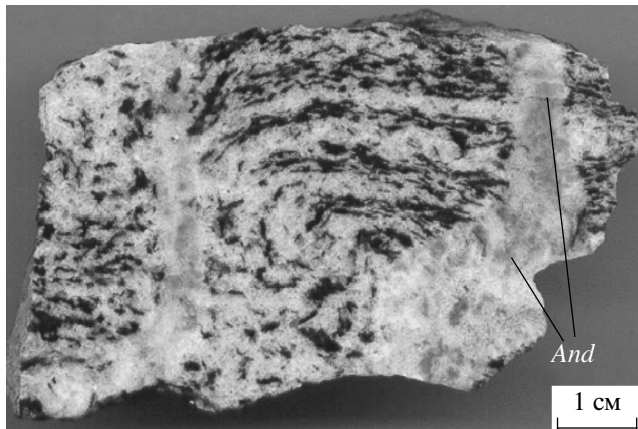


Рис. 6. Плойчатый мигматизированный гранат-биотитовый плагиогнейс с синметаморфическими андалузитсодержащими пегматоидными прожилками. Обр. 954/7, среднее течение р. Кхахона.

гнейсового купола, осевая зона которого проходит по водоразделу двух правых притоков р. Левая Воровская: р. Левая и Широкая Падь. Тела амфиболитов и клинопироксен-амфиболовых кристаллических сланцев ориентированы согласно северо-западному простиранию гнейсовидности мигматизированных плагиогнейсов, обычно совпадающей со слоистостью. Однако нередки случаи, когда простирание тел сланцев не совпадает со слоистостью исходных апотерригенных образований, свидетельствуя об интрузивной (дайковой и силовой) природе базитовых пород.

Мигматиты и теневые гранитоиды р. Левая – грубополосчатые породы с неравномерным распределением темноцветных минералов, которые сосредоточены в основном в меланосоме, имеющей гранат-биотит-плагиоклаз-кварцевый (\pm кианит, \pm ставролит) состав и образующей линзочки, обособления и ленты среди лейкократового материала лейкосомы биотит-кордиеритового и силлиманит-биотит-кордиеритового плагиогранитного и гранитного состава. Мощность гранитоидного материала лейкосомы варьирует от первых до нескольких десятков сантиметров. Нередко к центральным зонам лейкосомы приурочиваются линзы и обособления гранитных пегматитов.

В мигматитах и мигматизированных плагиогнейсах четко прослеживается замещение исходного гранат-биотитового (\pm кианит, \pm ставролит) парагенезиса плагиогнейсов биотит-кордиеритовой (\pm силлиманит, \pm калинатровый полевой шпат, \pm мусковит) ассоциацией. Гранат при этом кородируется и почти полностью замещается кордиеритом и биотитом, сохраняясь только в видебронированных реликтов в плагиоклазе и реже кордиерите. Первичный биотит плагиогнейсов перекристаллизовывается и замещается корди-

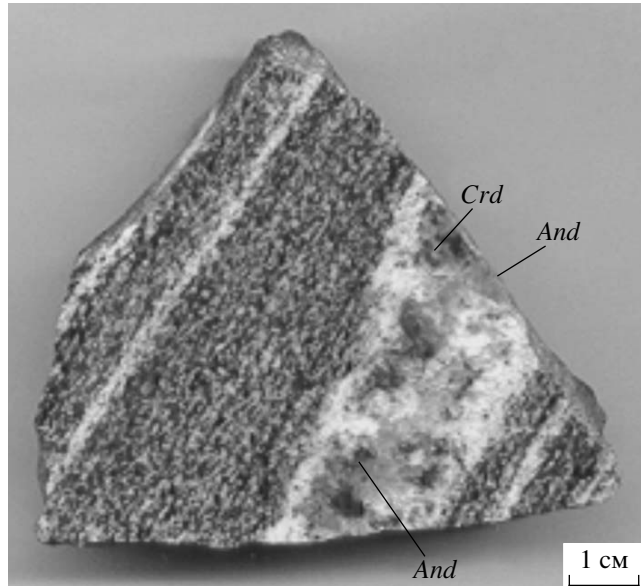


Рис. 7. Синметаморфическая андалузит-кордиеритовая гранитоидная жилка в мигматизированных гранат-биотитовых плагиогнейсах. Обр. 1065/7, истоки р. Средняя Андриановка.

еритом и силлиманитом (фибролитом). Высвобождающийся при этой реакции калий идет на формирование калиевого полевого шпата и мусковита. Значительно реже в мигматитах сохраняются бронированные реликты ставролита и кианита. Кордиерит в мигматитах и теневых гранитах образует таблитчатые и неправильной формы кристаллы (рис. 9), нередко наполненные мелкими включениями фибролита и зеленой шпинели.

Состав минералов представительных образцов мигматитов гранитогнейсового купола р. Левая приведен в табл. 1 (обр. 447-А, 451, 466, 473, 490). Как видно из табл. 1, температура гранат-биотитового равновесия мигматитов и мигматизированных плагиогнейсов этого региона составляет 620–650°C, а давление (глубинность) – 1.9–3.0 кбар, что в 2–3 раза ниже глубинности регионального метаморфизма исходных пород колпаковской серии.

Жильный материал в метаморфических породах колпаковской серии очень разнообразен. Наибольшим распространением пользуются послойные и секущие тела массивных и гнейсовидных биотитовых и гранат-биотитовых плагиогранитов и трондемитов, массивных и гнейсированных биотитовых и амфибол-биотитовых тоналитов и гранодиоритов, массивных и реже разгнейсированных биотит-кордиеритовых (\pm гранат) плагиогранитов и гранитов, а также слюдистых и гранат-слюдистых (нередко с турмалином) пегматитов.

Послойные жилы биотитовых и гранат-биотитовых гранитов и плагиогранитов имеют небольшую мощность (преобладают жилы мощностью

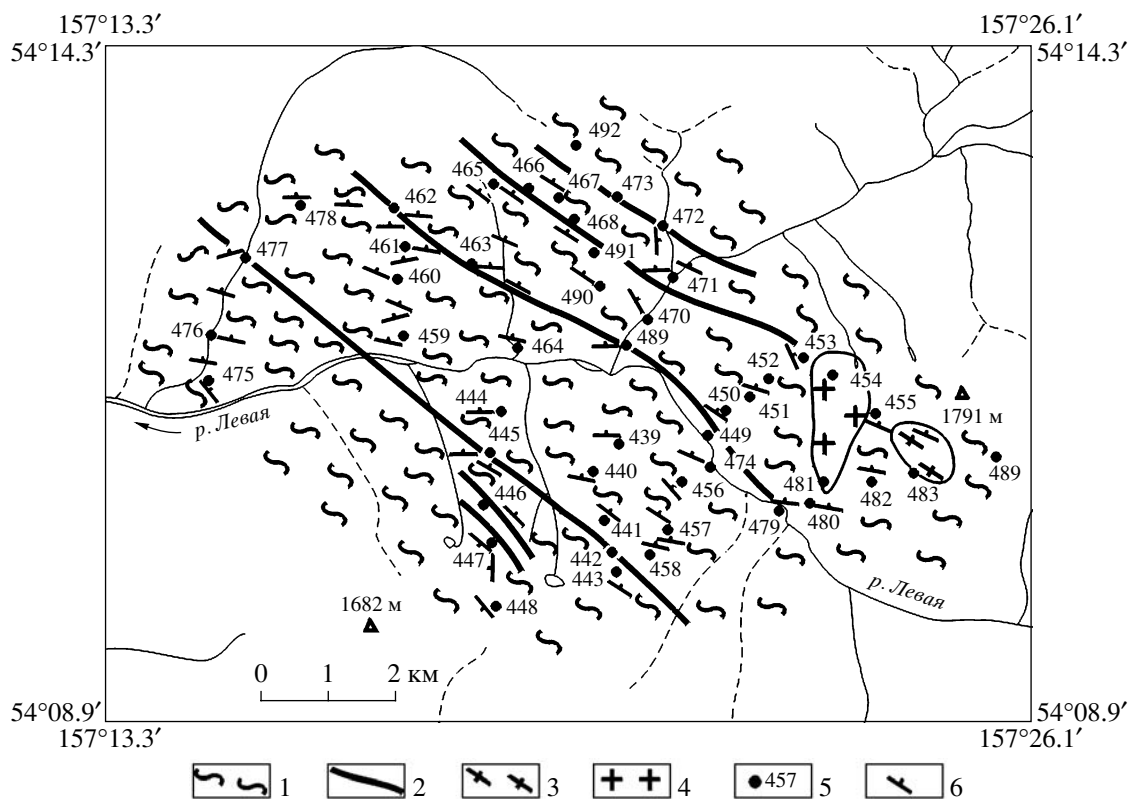


Рис. 8. Схематическая геологическая карта р. Левая, правого притока р. Левая Воровская, названия рек приведены согласно (Карта..., 1999).

1–4 – колпаковская серия: 1 – плагиогнейсы, мигматиты и теневые гранитоиды, 2 – тела амфиболитов и клинопироксен-амфиболовых основных кристаллических сланцев, 3 – тоналиты, 4 – симметаморфические кордиерит-биотит-мусковитовые лейкократовые граниты и пегматиты; 5 – точки наблюдения; 6 – элементы залегания гнейсовидности, полосчатости.

до 1 м). Секущие гранитоидные жилы обладают различной мощностью и представлены более лейкократовыми и в общем более поздними гранат-биотитовыми, гранат-двуслюдяными и биотит-кордиеритовыми гранитами и плагиогранитами, а также крупнозернистыми пегматитами. Кроме жил, линз и обособлений биотит-кордиеритовые (\pm гранат) граниты образуют довольно крупные (до 1 км и более в поперечнике) штокобразные тела и залежи (т.н. 454, 481, рис. 8). Эти породы характеризуются магматической гранитной структурой, тонкоплитчатой и плитчатой отдельностью в отличие от глыбовой и матрацевидной отдельности более ранних гранитоидных тел.

Гнейсированные биотитовые и амфибол-биотитовые тоналиты и гранодиориты, кроме по слойных жил среди мигматитов, образуют крупные пластовые тела (рис. 4, 8). Эти породы имеют средне- и крупнозернистую структуру, нередко бластокатализированы и состоят из магнезиальной роговой обманки, содержащей иногда реликты моноклинного пироксена, биотита, андезина Pl_{35-37} и 10–15% кварца. В небольших количествах отмечается калинатровый полевой шпат, особен-

но в сильно катализированных и милонитизированных разностях.

Кислотное выщелачивание, сопровождавшее процессы гранитизации и мигматизации плагиогнейсов колпаковской серии, обусловливало интенсивное замещение биотита метаморфических и жильных гранитоидных пород силлуманитом

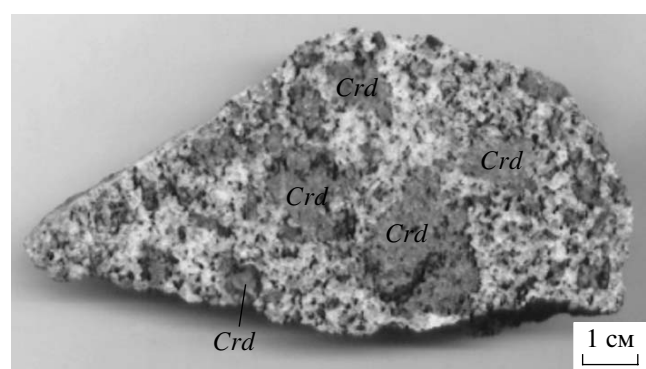


Рис. 9. Кордиерит-биотитовый теневой гранит с крупными выделениями кордиерита.
Обр. 458-В, р. Левая.

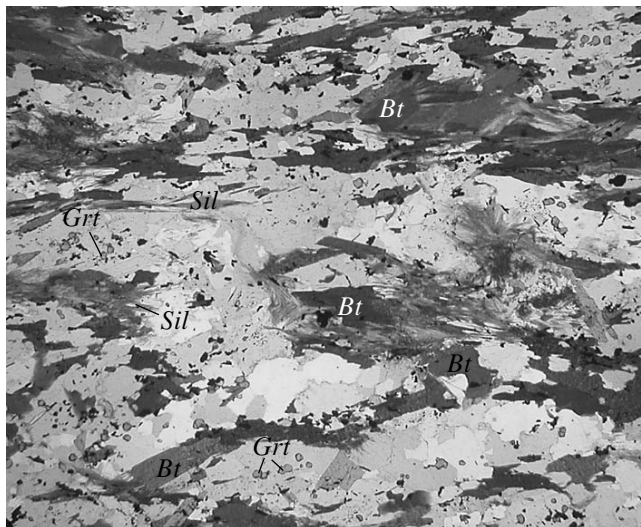


Рис. 10. Замещение биотита гранат-биотитовых мигматизированных плагиогнейсов фибролитом. Обр. 946, среднее течение р. Квахона. Увел. $\times 15$. Без анализатора.

(фибролитом) и в меньшей степени мусковитом (рис. 10, обр. 946).

КОНТАКТОВЫЕ РОГОВИКИ ПИРОКСЕН-РОГОВИКОВОЙ ФАЦИИ

В некоторых участках Срединно-Камчатского массива в колпаковской серии обнаружены более высокотемпературные по сравнению с регионально-метаморфизованными плагиогнейсами и мигматитами образования, относящиеся к ортопироксен-кордиерит-биотит-ортоклазовой минеральной субфации пироксен-роговиковой фации. Геологические наблюдения свидетельствуют о том, что эти породы имеют контактово-реакционную природу и формировались во внутренних частях роговиковых ореолов массивов лавкинского интрузивного комплекса олигоцен-миоценового возраста (Карта..., 1999). В составе этого комплекса преобладают гранодиориты, субшелочные диориты, кварцевые диориты при подчиненной роли габбро и габбро-норитов, приуроченных к краевым зонам интрузивов. Реже габбродиориты полностью слагают небольшие слабо

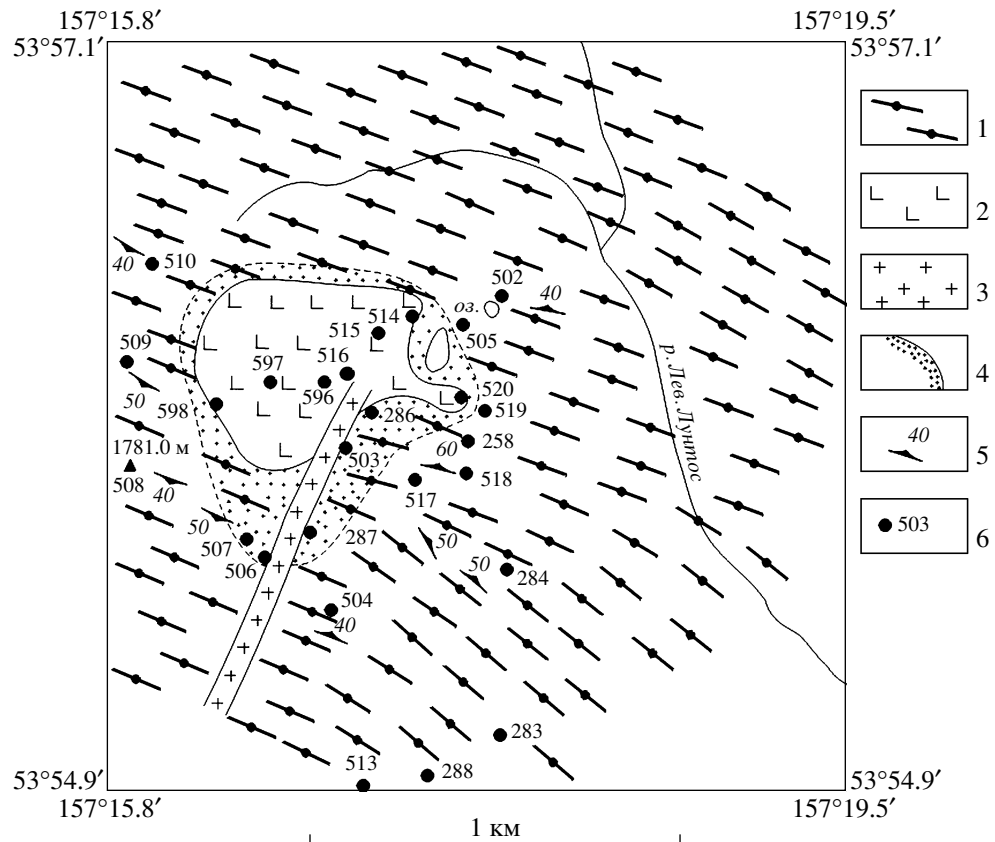


Рис. 11. Схематическая геологическая карта истоков р. Левый Лунтос.

1 – колпаковская серия: гранат-биотитовые и кианит-гранат-биотитовые плагиогнейсы и мигматиты; 2, 3 – лавкинский интрузивный комплекс: габбро и габбро-нориты (2), амфибол-биотитовые гранодиориты (3); 4 – ортопироксен-кордиерит-биотит-ортоклазовые роговики; 5 – элементы залегания гнейсовидности; 6 – точки наблюдения.

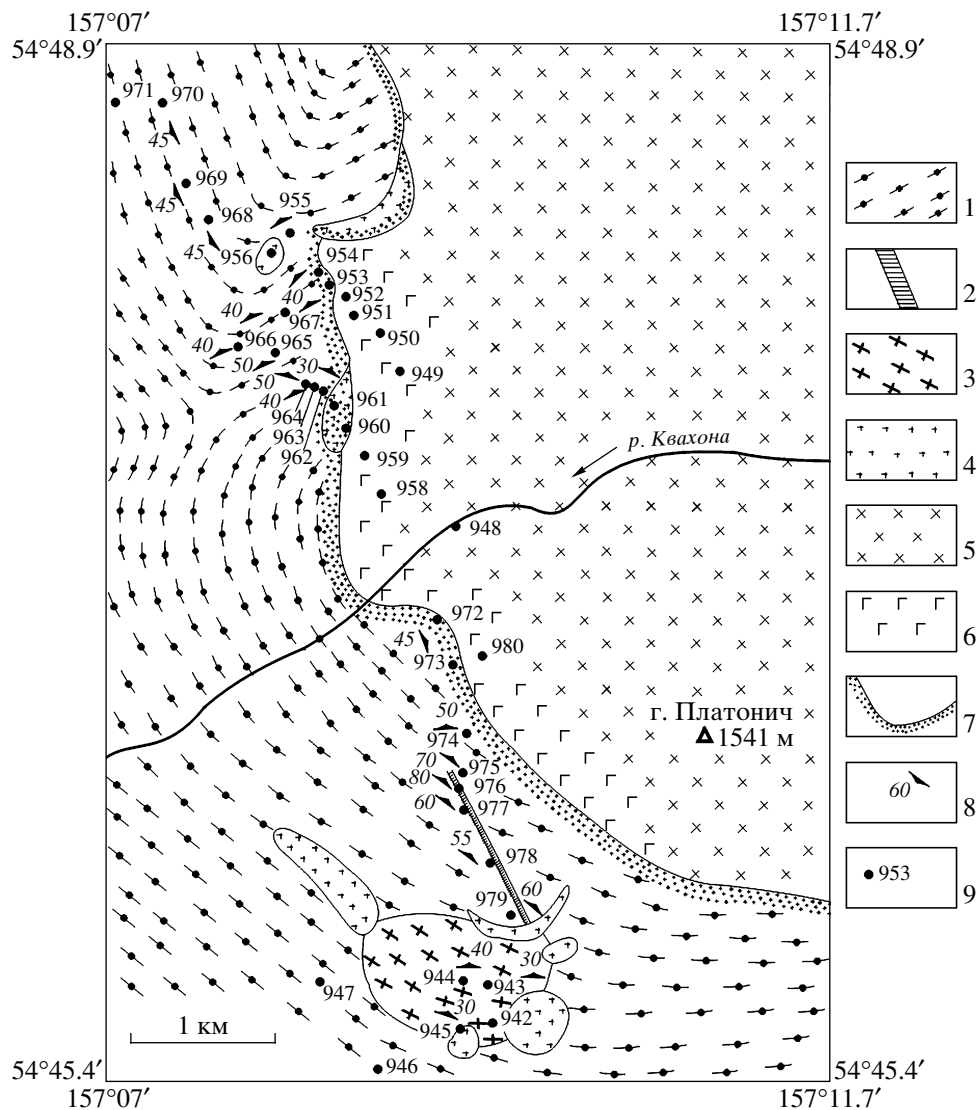


Рис. 12. Схематическая геологическая карта юго-западной части Лавкинского интрузива (среднее течение р. Квахона). 1, 2 – колпаковская серия: гранат-биотитовые и кианит-гранат-биотитовые пластигнейсы и мигматиты (1), амфиболиты и клинопироксен-амфиболовые основные кристаллические сланцы (2); 3 – гнейсированные биотитовые и гранат-биотитовые гранитоиды Крутогоровского массива; 4 – синметаморфические кордиерит-биотитовые, гранат-слюдистые граниты и пегматиты; 5, 6 – лавкинский интрузивный комплекс: гранодиориты, диориты, субщелочные кварцевые диориты (5), габбро-нориты краевой фации (6); 7 – ортопироксен-кордиерит-биотит-ортоклазовые роговики; 8 – элементы полосчатости, гнейсовидности; 9 – точки наблюдений.

эродированные массивы, как в истоках р. Левый Лунтос (рис. 11). Габбройды (обр. 516-В) состоят из ортопироксена $Wo_{2-3}En_{68-70}Fs_{28-30}$, клинопироксена $Wo_{42-45}En_{42-45}Fs_{12-13}$, плагиоклаза Pl_{44-50} , небольшого количества оливина и эденитовой роговой обманки (по номенклатуре (Leake, 1978)), биотита, ильменита и магнетита.

Массивы лавкинского интрузивного комплекса оказали сильное контактное воздействие на вмещающие пластигнейсы и мигматиты колпаковской серии, приведя к образованию высокотемпературных роговиков и их локальномумагматическому замещению. Мощность высокотем-

пературной части контактовых ореолов обычно не превышает 50–100 м. Так, в юго-западной части Лавкинского интрузива, обнажающегося в среднем течении р. Квахона (рис. 12), от внешних частей внутрь контактового ореола прослеживаются реакции прогрессивного преобразования исходных пород колпаковской серии, метаморфизованной в амфиболитовой фации, в роговики пироксен-роговиковой фации. Во внешних частях ореола в гранат-биотитовых и кианит-гранат-биотитовых мигматизированных пластигнейсах наблюдается обрастание и замещение кристаллов биотита мелкими зернами малоглиноземи-

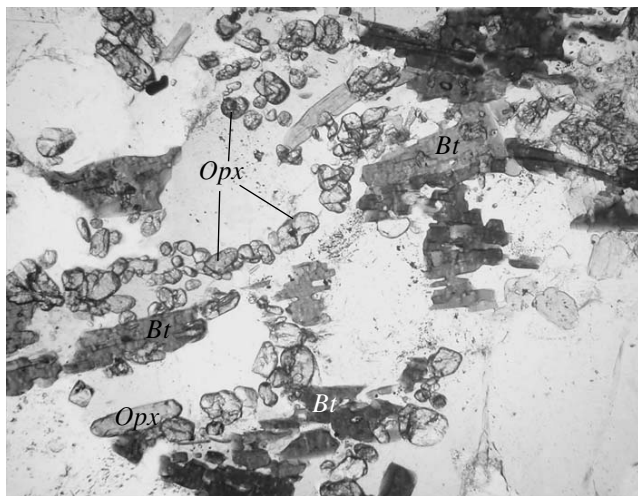


Рис. 13. Замещение биотита мигматизированных пла-
гиогнейсов колпаковской серии гиперстеном.
Обр. 962/7, среднее течение р. Квахона. Увел. ×100.
Без анализатора.

стого ортопироксена (рис. 13, табл. 2, обр. 962/7), появляются редкие кристаллы кордиерита, а калинатровый полевой шпат отмечается только в виде антипертитов в плагиоклазе. На этих стадиях ороговикования пластигнейсы и мигматиты сохраняют гнейсовидную текстуру исходных метаморфических пород. Одновременно происходит распад и замещение граната пластигнейсов и мигматитов; в роговиках внутренних частей ореолов гранат неустойчив, является реликтовым минералом, изредка сохраняясь в виде бронированных реликточек в плагиоклазе.

Температура начальной стадии формирования ортопироксен-биотит-кордиеритовых роговиков, определенная по ортопироксен-биотитовому геотермометру (Аранович и др., 1988), равна 730–740°C.

С приближением к kontaktам интрузивов лавкинского комплекса пластигнейсы и мигматиты утрачивают гнейсовидное строение, превращаясь в массивные породы с неравномернозернистой роговиковой структурой (рис. 14). В них кристаллизуются все более железистые и более глиноzemистые ортопироксены в ассоциации с калинатровым полевым шпатом, образующим самостоятельные зерна, кордиеритом и биотитом (табл. 2, обр. 506, 3472, 954/13). Конечной минеральной ассоциацией роговиков является парагенезис $Opx + Crd + Bt + Or + Pl + Qtz$, темноцветные минералы которого отличаются чрезвычайно высокой железистостью (табл. 2). Резкое возрастание железистости и глиноzemистости ортопироксена в роговиках из внутренних частей рассматриваемых ореолов согласуется с данными экспериментальных исследований системы с участием ортопироксена, кордиерита и кварца (Аранович, Косякова, 1986). Точки составов ортопи-

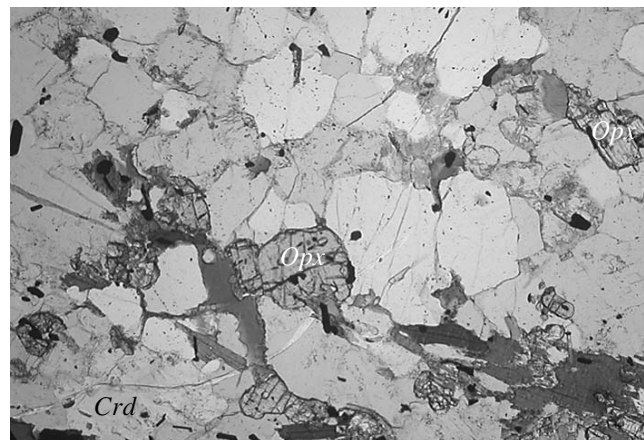


Рис. 14. Гиперстен-кордиерит-биотитовый роговик.
Обр. 503, истоки р. Левый Лунтос. Увел. ×60. Без ана-
лизатора.

роксена и кордиерита изученных роговиков на диаграмме фазового соответствия совпадают с экспериментальным равновесием в системе $Opx-Crd-Qtz$ при температуре 800°C и давлении около 3 кбар (Аранович, Косякова, 1986).

Температура образования $Opx-Crd-Bt-Or-Pl-Qtz$ роговиков из внутренней части kontaktового ореола Лавкинского интрузива, рассчитанная по $Opx-Bt$ геотермометру (Аранович и др., 1988), составляет 830–840°C.

ОБСУЖДЕНИЕ РЕЗУЛЬТАТОВ

Основываясь на высокотемпературных минеральных ассоциациях роговиков kontaktовых ореолов, развивающихся по пластигнейсам и мигматитам колпаковской серии, исследователи приходили к заключению о достижении условий гранулитовой фации при региональном метаморфизме ее исходных отложений (Марченко, 1975; Ханчук, 1985; Шульдинер и др., 1987). Однако четкая приуроченность $Opx-Crd-Bt-Or-Pl-Qtz$ пород только к kontaktовым ореолам олигоцен-миоценовых интрузивов, параллельность метаморфических зон ореолов их kontaktовым поверхностям, увеличение степени метаморфизма (вплоть до магматического замещения исходных пластигнейсов и мигматитов амфиболитовой фации) по направлению к магматическим телам, реликтовый неравновесный характер граната этих пород не позволяют согласиться с этим заключением. Отмеченные особенности рассматриваемых образований однозначно указывают на то, что наиболее высокотемпературные парагенезисы в Срединно-Камчатском кристаллическом массиве представлены kontaktовыми роговика-

Таблица 2. Представительные микрозондовые анализы минералов из ортопироксен-кордиерит-биотит-ортоклазовых роговиков контактовых ореолов массивов лавкинского интрузивного комплекса (в мас. %)

| Компоненты | Обр. 506 | | | | | | | | Обр. 962/7 | | | | Обр. 3472 |
|--------------------------------|--------------------|------------------|-------|-----------------|-----------------|--------|--------------------|------------------|------------------|-------|-----------------|-----------------|-----------|
| | порода | Opx | Crd | Bt | Pl _r | Or | Ilm | Spl | Opx | Bt | Pl _c | Pl _r | Opx |
| SiO ₂ | 68.95 | 51.60 | 48.26 | 35.61 | 63.64 | 66.58 | 0.05 | 0.00 | 50.68 | 35.48 | 64.63 | 62.55 | 46.45 |
| TiO ₂ | 0.76 | 0.17 | 0.01 | 4.62 | 0.00 | 0.00 | 51.60 | 0.05 | 0.05 | 5.63 | 0.00 | 0.00 | 0.31 |
| Al ₂ O ₃ | 14.98 | 1.23 | 32.92 | 13.60 | 22.23 | 18.61 | 0.00 | 54.09 | 0.79 | 15.57 | 22.86 | 23.55 | 2.88 |
| Fe ₂ O ₃ | 0.29 | | | | | | | 3.83 | | | | | |
| FeO | 4.32 | 35.05 | 9.38 | 22.72 | 0.07 | 0.04 | 45.63 | 33.16 | 30.34 | 17.79 | 0.07 | 0.19 | 38.89 |
| MnO | 0.11 | 0.61 | 0.20 | 0.10 | 0.00 | 0.00 | 0.54 | 0.20 | 0.50 | 0.06 | 0.00 | 0.00 | 0.54 |
| MgO | 1.98 | 13.03 | 7.50 | 8.81 | 0.00 | 0.00 | 0.42 | 3.85 | 17.48 | 11.92 | 0.00 | 0.00 | 9.85 |
| CaO | 1.76 | 0.14 | 0.01 | 0.04 | 4.62 | 0.39 | 0.00 | 0.00 | 0.16 | 0.00 | 3.86 | 5.18 | 0.17 |
| Na ₂ O | 2.92 | 0.00 | 0.05 | 0.12 | 9.56 | 3.77 | 0.00 | 0.00 | 0.00 | 0.10 | 8.12 | 7.92 | 0.04 |
| K ₂ O | 2.33 | 0.00 | 0.01 | 9.28 | 0.41 | 11.15 | 0.00 | 0.00 | 0.00 | 9.90 | 0.79 | 0.27 | 0.00 |
| Сумма | 99.40 ¹ | 101.83 | 98.34 | 94.90 | 100.53 | 100.54 | 98.24 | 95.18 | 100.00 | 96.45 | 100.33 | 99.66 | 99.13 |
| X _{Mg} | 0.436 | 0.399 | 0.587 | 0.408 | — | — | — | — | 0.506 | 0.544 | — | — | 0.311 |
| X _{An} | — | — | — | — | 0.206 | 0.019 | — | — | — | — | 0.198 | 0.263 | — |
| Wo | — | 0.4 | — | — | — | — | — | — | 0.3 | — | — | — | 0.4 |
| En | — | 39.7 | — | — | — | — | — | — | 50.5 | — | — | — | 31.0 |
| Fs | — | 59.9 | — | — | — | — | — | — | 49.2 | — | — | — | 68.6 |
| Компоненты | Обр. 3472 | | | | | | Обр. 954/13 | | | | | | |
| | Crd _c | Crd _r | Bt | Pl _c | Pl _r | Spl | порода | Crd _c | Crd _r | Bt | Pl _c | Pl _r | Or |
| SiO ₂ | 47.27 | 47.28 | 33.93 | 57.96 | 60.89 | 0.00 | 60.90 | 48.18 | 48.11 | 35.26 | 59.85 | 60.86 | 65.49 |
| TiO ₂ | 0.00 | 0.03 | 3.51 | 0.00 | 0.00 | 0.16 | 1.05 | 0.03 | 0.03 | 5.45 | 0.00 | 0.00 | 0.00 |
| Al ₂ O ₃ | 32.58 | 32.64 | 16.75 | 26.74 | 25.26 | 56.06 | 18.83 | 32.23 | 32.10 | 15.50 | 25.49 | 24.60 | 19.75 |
| Fe ₂ O ₃ | | | | | | 3.20 | 4.82 | | | | | | |
| FeO | 11.91 | 12.19 | 25.50 | 0.13 | 0.01 | 36.80 | 3.49 | 11.59 | 12.06 | 22.90 | 0.03 | 0.12 | 0.06 |
| MnO | 0.11 | 0.18 | 0.07 | 0.00 | 0.00 | 0.20 | 0.08 | 0.16 | 0.21 | 0.14 | 0.00 | 0.00 | 0.00 |
| MgO | 6.34 | 6.09 | 6.90 | 0.00 | 0.00 | 2.23 | 1.97 | 6.38 | 5.86 | 6.55 | 0.00 | 0.00 | 0.00 |
| CaO | 0.02 | 0.02 | 0.01 | 8.16 | 6.51 | 0.00 | 2.06 | 0.02 | 0.01 | 0.00 | 7.86 | 6.23 | 0.21 |
| Na ₂ O | 0.10 | 0.11 | 0.14 | 6.70 | 7.61 | 0.00 | 2.51 | 0.23 | 0.23 | 0.16 | 6.77 | 8.04 | 2.60 |
| K ₂ O | 0.00 | 0.00 | 9.41 | 0.28 | 0.29 | 0.00 | 2.04 | 0.01 | 0.01 | 9.46 | 0.23 | 0.23 | 13.44 |
| Сумма | 98.33 | 98.54 | 96.42 | 99.99 | 100.57 | 98.65 | 99.62 ² | 98.83 | 98.62 | 95.42 | 100.23 | 100.08 | 101.55 |
| X _{Mg} | 0.486 | 0.470 | 0.324 | — | — | 0.092 | 0.311 | 0.497 | 0.464 | 0.338 | — | — | — |
| X _{An} | — | — | — | 0.395 | 0.315 | — | — | — | — | — | 0.386 | 0.296 | 0.011 |
| Wo | — | — | — | — | — | — | — | — | — | — | — | — | — |
| En | — | — | — | — | — | — | — | — | — | — | — | — | — |
| Fs | — | — | — | — | — | — | — | — | — | — | — | — | — |

Примечание. Обр. 506 – истоки р. Левый Лунтос; обр. 962/7, 3472, 954/13 – правый борт среднего течения р. Квахона. Fe²⁺, Fe³⁺ в шпинели рассчитано согласно стехиометрической формуле. В сумму дополнительно включены: ¹ П.п.п. – 1.00 мас. %; ² P₂O₅ – 0.25 мас. %, П.п.п. – 1.64 мас. %.

ми пироксен-роговиковой фации и формировались позднее регионального метаморфизма амфиболитовой фации исходных отложений колпаковской серии, возникшая в контактовых ореолах

массивов габброидного и габбро-гранитоидного состава олигоцен-миоценового возраста.

Широкое развитие в плагиогнейсах и мигматитах колпаковской серии реакций замещения киа-

нита андалузитом, сопровождавших процессы гранитизации и мигматизации метаморфических пород, свидетельствует о том, что внедрение магматических тел лавкинского интрузивного комплекса и формирование контактовых роговиков осуществлялось в поле устойчивости андалузита, т.е. при давлении около 4 кбар.

Сравнение изученных роговиков с аналогичными породами контактового ореола Киглапайтского (Kiglapait) расслоенного интрузива в Лабрадоре, кристаллизовавшегося на глубинах, отвечающих давлению 2.2–4.0 кбар (Speer, 1982), показывает полную аналогию состава минералов однотипных минеральных парагенезисов. Это может служить доказательством близости физико-химических условий метаморфизма в контактовых ореолах Киглапайтского интрузива и массивов лавкинского интрузивного комплекса Срединного хребта Камчатки.

ЗАКЛЮЧЕНИЕ

Геологические, минералогические и геотермобарометрические данные свидетельствуют о том, что региональный метаморфизм исходных терригенных образований колпаковской серии, залегающей в основании разреза Срединно-Камчатского кристаллического массива, отвечал кианитовой минеральной субфаации амфиболитовой фации: температуре 560–660°C и давлению 5.9–6.9 кбар, что обусловливало широкое развитие кианита в высокоглиноземистых гранат-биотитовых плагиогнейсах.

Последующая гранитизация и мигматизация плагиогнейсов происходили на фоне значительного снижения давления (глубинности), свидетельством чему служат реакционные структуры замещения кианита андалузитом как в метаморфических породах, так и в жильных синметаморфических гранитоидах и пегматитах. Температура процессов гранитизации и мигматизации плагиогнейсов в пределах гранитогнейсовых куполов оценивается в 620–650°C, а давление (глубинность) – в 1.9–3.0 кбар.

Кислотное выщелачивание, сопровождавшее процессы гранитизации и мигматизации, приводило к интенсивному замещению биотита метаморфических и жильных магматических пород силлиманитом (фибролитом) и в меньшей мере мусковитом.

Установлено, что наиболее высокотемпературные *Opx-Crd-Bt-Or-Pl-Qtz* минеральные ассоциации, отвечающие температуре 830–840°C, формировались в колпаковской серии не в результате регионального метаморфизма ее исходных образований, а образовывались позднее в контактовых ореолах габбро-гранитоидных интрузивов лавкинского интрузивного комплекса

олигоцен-миоценового возраста за счет гранат-биотитовых и кианит-гранат-биотитовых плагиогнейсов амфиболитовой фации и поэтому не могут служить доказательством раннего гранулитового этапа метаморфизма ее отложений.

Таким образом, геологические, минералогические и термодинамические данные свидетельствуют о том, что метаморфизм исходных отложений колпаковской свиты Срединно-Камчатского кристаллического массива никогда не достигал условий гранулитовой фации.

СПИСОК ЛИТЕРАТУРЫ

- Авченко О.В. Минеральные равновесия в метаморфических породах и проблемы геобаротермометрии. М.: Наука, 1990. 182 с.
- Авченко О.В., Тарарин И.А., Чубаров В.М. О зональности гранатов из метапелитовых пород станового комплекса и Срединного хребта Камчатки // Изв. Высших учебных заведений. Сер. геол. и разв. 1978. № 10. С. 84–90.
- Аранович Л.Я., Косякова Н.А. Равновесие кордиерит + + кварц. Экспериментальные данные и термодинамика тройного Fe-Mg-Al твердого раствора ортопироксена // Геохимия. 1986. № 8. С. 1181–1202.
- Аранович Л.Я., Лаврентьева И.В., Косякова Н.А. Биотит-гранатовый и биотит-ортопироксеновый геотермометры: калибровка с учетом переменности содержания Al в биотите // Геохимия. 1988. № 5. С. 668–676.
- Биотит-гранат-кордиеритовые равновесия и эволюция метаморфизма. Ред. Л.Л. Перчук, И.В. Лаврентьева, Л.Я. Аранович, К.К. Подлесский. М.: Наука, 1983. 198 с.
- Богданов Н.А., Добрецов Н.Л. Охотское океаническое вулканическое плато // Геология и геофизика. 2002. Т. 43. С. 97–110.
- Богданов Н.А., Чехович В.Д. О коллизии Западно-Камчатской и Охотоморской плит // Геотектоника. 2002. № 1. С. 72–85.
- Бондаренко Г.Е., Кузнецов Н.Б., Савостин Л.А., Смоляр М.И., Соколов С.Ю. Изотопный возраст гранатовых плагиогранитоидов Срединного хребта Камчатки // Докл. АН. 1993. Т. 330. С. 233–236.
- Виноградов В.И., Григорьев В.С. Rb-Sr-возраст пород Срединного выступа Камчатки // Докл. АН. 1994. Т. 339. С. 645–649.
- Виноградов В.И., Григорьев В.С., Каstryкина В.М. Возраст метаморфических пород фундамента Камчатки // Советская геология. 1991. № 7. С. 58–65.
- Геология СССР. Т. XXXI. Камчатка, Курильские и Командорские острова. Ч. I. Геологическое описание. Под ред. Г.М. Власова. М.: Недра, 1964. 729 с.
- Зинкевич В.П., Цуканов Н.В. Формирование аккреционной структуры Восточной Камчатки в позднем мезозое–раннем кайнозое // Геотектоника. 1992. № 4. С. 97–112.
- Зинкевич В.П., Колодяжный С.Ю., Брагина Л.Г., Константиновская Е.А., Федоров П.И. Тектоника восточного обрамления Срединнокамчатского массива

- метаморфических пород // Геотектоника. 1994. № 1. С. 81–96.
- Зоненишайн Л.П., Кузьмин М.И., Натапов Л.М.* Тектоника литосферных плит территории СССР. М.: Недра, 1990. Кн. 1. 327 с. Кн. 2. 334 с.
- Карта полезных ископаемых Камчатской области масштаба 1:500000. Под ред. А.Ф. Литвинова, М.Г. Патоки, Б.А. Марковского и др. Санкт-Петербург: ВСЕГЕИ, 1999.
- Кирмасов А.Б., Соловьев А.В., Хоуриган Дж.К.* Коллизионная и постколлизионная структурная эволюция Андриановского шва (Срединный хребет, Камчатка) // Геотектоника. 2004. № 4. С. 64–90.
- Константиновская Е.А.* Геодинамика коллизии островная дуга–континент на западной окраине Тихого океана // Геотектоника. 1999. № 5. С. 15–34.
- Константиновская Е.А.* Механизм аккреции континентальной коры: пример Западной Камчатки // Геотектоника. 2002. № 5. С. 59–78.
- Константиновская Е.А.* Тектоника восточных окраин Азии: структурное развитие и геодинамическое моделирование. М.: Научный мир, 2003. 224 с.
- Кузьмин В.К., Беляцкий Б.В.* Первые Sm-Nd изотопные определения возраста метаморфических пород Срединно-Камчатского массива // Геология и полезные ископаемые Камчатской области и Корякского автономного округа. Материалы регионального конф., посвящ. 50-летию геолог. службы Камчатки, 31 марта–1 апреля 1999. Под ред. А.Ф. Литвинова, А.И. Поздеева. Петропавловск-Камчатский: КАМШАТ, 1999. С. 41–42.
- Кузьмин В.К., Жданов В.В.* Зональность граната – критерий типа метаморфической зональности Камчатского массива // Докл. АН СССР. 1983. Т. 268. С. 1215–1218.
- Кузьмин В.К., Чухонин А.П.* О докембрийском возрасте гнейсов Камчатского массива // Докл. АН СССР. 1980. Т. 251. С. 932–935.
- Кузьмин В.К., Беляцкий Б.В., Пузанков Ю.М.* Новые данные о докембрийском возрасте гнейсового комплекса Камчатского массива // Геодинамика, магматизм и минерагенез континентальных окраин Севера Пацифики. Под ред. В.И. Гончарова. Магадан: СВКНИИ ДВО РАН, 2003. Т. 1. С. 162–165.
- Лебедев М.М.* Верхнемеловые кристаллические сланцы Камчатки // Советская геология. 1967. № 4. С. 57–69.
- Лебедев М.М., Бондаренко В.Н.* К вопросу о возрасте и генезисе метаморфических пород Центральной Камчатки // Советская геология. 1962. № 11. С. 98–105.
- Марков М.С.* Метаморфические комплексы и “базальтовый” слой земной коры островных дуг. М.: Наука, 1975. 232 с.
- Марченко А.Ф.* О тектонической природе, возрасте и структурном положении метаморфических комплексов Камчатки // Вопросы магматизма и тектоники Дальнего Востока. Под ред. Л.М. Парфенова, В.А. Попеко. Владивосток: ДВНЦ АН СССР, 1975. С. 234–246.
- Меланхолина Е.П.* Тектоника Северо-Западной Пацифики: соотношения структур океана и континентальной окраины. М.: Наука, 1988. 216 с.
- Некрасов Г.Е.* Тектоническая природа структур Срединной Камчатки, Камчатского перешейка и бассейна реки Укэляят и вопросы геодинамики допозднепалеозойских океанических комплексов запада Корякского нагорья // Общие вопросы тектоники. Тектоника России. Материалы XXXIII тектонического совещания. М.: ГЕОС, 2000. С. 347–352.
- Некрасов Г.Е.* Тектоническая природа Корякско-Камчатского региона и вопросы геодинамики складчатого обрамления севера Тихого океана // Геотектоника. 2003. № 6. С. 53–79.
- Объяснительная записка к тектонической карте Охотоморского региона масштаба 1:2500000. Ред. Н.А. Богданов, В.Е. Хайн. М.: Институт литосферы окраинных и внутренних морей РАН, 2000. 193 с.
- Парфенов Л.М., Натапов Л.М., Соколов С.Д., Цуканов Н.В.* Террейны и аккреционная тектоника Северо-Востока Азии // Геотектоника. 1993. № 1. С. 68–78.
- Парфенов Л.М., Ноклеберг У.Дж., Монгер Дж.У.Х.* Формирование коллажа террейнов орогенных поясов севера Тихоокеанского обрамления // Геология и геофизика. 1999. Т. 40. С. 1563–1574.
- Рихтер А.В.* Структура метаморфического комплекса Срединно-Камчатского массива // Геотектоника. 1995. № 1. С. 71–78.
- Смирнов А.М.* Комплексы древнейшего докембра на северо-западе Тихоокеанского пояса и его рамы // Метаморфические комплексы дальневосточной континентальной окраины. Под ред. Е.А. Кулиша. Владивосток: ДВНЦ АН СССР, 1983. С. 12–27.
- Соколов С.Д.* Аккреционная тектоника Корякско-Чукотского сегмента Тихоокеанского пояса. М.: Наука, 1992. 182 с.
- Соловьев А.В.* Изучение тектонических процессов в областях конвергенции литосферных плит методами трекового датирования и структурного анализа. Автодис. ... докт. геол.-мин. наук. М., 2005. 49 с.
- Соловьев А.В., Брэндон М.Т., Гарвер Дж.И., Богданов Н.А., Шапиро М.Н., Леднева Г.В.* Коллизия Олюторской островной дуги с Евразиатской континентальной окраиной: кинематика и возрастные аспекты // Докл. АН. 1998. Т. 360. С. 666–668.
- Соловьев А.В., Шапиро М.Н., Гарвер Дж.И.* Лесновский тектонический покров, Северная Камчатка // Геотектоника. 2002. № 6. С. 45–59.
- Соловьев А.В., Хоуриган Дж.К., Брэндон М.Т., Гарвер Дж.И., Григоренко Е.С.* Возраст барабской свиты по данным U/Pb (SHRIMP) датирования (Срединный хребет, Камчатка): геологические следствия // Стратиграфия. Геологическая корреляция. 2004. Т. 12. С. 110–117.
- Ставский А.П., Чехович В.Д., Кононов М.В., Зоненишайн Л.П.* Тектоника плит и палинспастические реконструкции Анадырско-Корякского региона // Геотектоника. 1988. № 6. С. 32–42.
- Тарарин И.А.* Особенности минералогии и зональность гранатов как показатели полиметаморфизма Срединно-Камчатского комплекса // Геология и геофизика. 1981. № 6. С. 45–56.
- Тарарин И.А.* Эволюция метаморфических процессов в Срединно-Камчатской метаморфической зоне // Тихоокеанская геология. 1988. № 1. С. 63–70.

- Тарарин И.А., Авченко О.В.* О сложной зональности гранатов (на примере метаморфических пород Срединного хребта Камчатки) // Изв. АН СССР. Серия геологическая. 1983. № 4. С. 81–90.
- Тарарин И.А., Чубаров В.М.* Зональность гранатов и полиметаморфизм отложений Срединного хребта Камчатки // Докл. АН СССР. 1979. Т. 249. С. 1437–1441.
- Ханчук А.И.* Эволюция древней сиалической коры в островодужных системах восточной Азии. Владивосток: ДВНЦ АН СССР, 1985. 138 с.
- Чехович В.Д., Сухов А.Н.* Раскол позднемеловой Ачайваем-Валагинской вулканической дуги в палеоцене (террейны Южной Корякии и Восточной Камчатки) // Докл. АН. 2006. Т. 409. С. 658–661.
- Шанцер А.Е., Челебаева А.И.* Стратиграфия, геологические события и новая модель рифтового развития Центральной Камчатки в позднем мелу–раннем палеогене // Стратиграфия. Геологическая корреляция. 2004. Т. 12. С. 83–96.
- Шапиро М.Н.* Позднемеловая Ачайваем-Валагинская вулканическая дуга (Камчатка) и кинематика плит Северной Пацифики // Геотектоника. 1995. № 1. С. 58–70.
- Шапиро М.Н., Ермаков В.А., Шанцер А.Е., Шульдинер В.И., Ханчук А.И., Высоцкий С.В.* Очерки тектонического развития Камчатки. М.: Наука, 1987. 248 с.
- Шапиро М.Н., Соловьев А.В., Щербинина Е.А., Кравченко-Бережной И.Р., Гарвер Дж.И.* Новые данные о времени коллизии островной дуги с континентом на Камчатке // Геология и геофизика. 2001. Т. 42. С. 841–851.
- Шульдинер В.И., Высоцкий С.В., Ханчук А.И.* Фундамент тихоокеанских активных окраин. М.: Наука, 1987. 208 с.
- Bindeman I.N., Vinogradov V.I., Valley J.W., Wooden J.L., Natal' in B.A.* Archean protolith and accretion of crust in Kamchatka: SHRIMP dating of zircons from Sredinny and Ganai Massifs // J. Geol. 2002. V. 110. P. 271–289.
- Bradshaw J.Y.* Early Cretaceous vein-related garnet granulite in Fiordland, Southwest New Zealand: a case for infiltration of mantle-derived CO₂-rich fluids // J. Geol. 1989. V. 97. P. 697–717.
- Clarke G.L., Klepeis K.A., Daczko N.R.* Cretaceous high-P granulites at Milford Sound, New Zealand: metamorphic history and emplacement in a convergent margin setting // J. Metamorphic. Geol. 2000. P. 359–374.
- Gnibidenko G.S., Gorbachev S.Z., Lebedev M.M., Marakhanov V.I.* Geology and deep structure of Kamchatka peninsula // Pacific Geol. 1974. № 7. P. 1–33.
- Hollister L.S.* Granulite facies metamorphism in the Coast Range crystalline belt // Can. J. Earth Sci. 1975. V. 12. P. 1953–1955.
- Hourigan J.K., Brandon M.T., Garver J.I., Soloviev A.V.* A comparison of the detrital zircon grain age distribution from Ukelayat group and the Kamchatskiy complex of the Sredinny Range, Kamchatka // 7th Zonenshain Int. Conf. on Plate Tectonics, 2001. M.: Nauchny Mir, 2001. P. 510.
- Hourigan J.K., Brandon M.T., Soloviev A.V., Kirmasov A.B.* High-grade metamorphic core of an Eocene arc-continent collision zone, Sredinny Range, Kamchatka // Geological Society of America. Program with Abstracts. 2003. V. 35. P. 139–140.
- Konstantinovskaya E.A.* Geodynamics of the Early Eocene arc-continent collision reconstructed from the Kamchatka orogenic belt (NE Russia) // Tectonophysics. 2000. V. 325. P. 87–105.
- Konstantinovskaya E.A.* Arc-continent collision and subduction reversal in the Cenozoic evolution of the Northwest Pacific: an example from Kamchatka (NE Russia) // Tectonophysics. Active Subduction and collision in South-East Asia (SEASIA). Spec. Issue. 2001. V. 333. P. 75–94.
- Leake B.E.* Nomenclature of amphiboles // Canadian Mineralogist. 1978. V. 16. P. 501–520.
- Lebedev M.M., Tararin I.A., Lagovskaya E.A.* Metamorphic zones of Kamchatka as an example of the metamorphic assemblages of the inner part of the Pacific belt // Tectonophysics. 1967. V. 4. P. 445–461.
- Mattinson J.M., Kimbrough D.L., Bradshaw J.Y.* Western Fiordland orthogneiss: Early Cretaceous arc magmatism and granulite facies metamorphism, New Zealand // Contrib. Mineral. Petrol. 1986. V. 92. P. 383–392.
- Parfenov L.M., Natal' in B.A.* Mesozoic tectonic evolution of Northeastern Asia // Tectonophysics. 1986. V. 127. P. 291–304.
- Soloviev A.V., Shapiro M.N., Garver J.I., Shcherbinina E.A., Kravchenko-Berezhnaya I.R.* New age data from the Lesnaya Group: a key to understanding the timing of arc-continent collision, Kamchatka, Russia // The Island Arc. 2002. V. 11. P. 79–90.
- Speer J.A.* Metamorphism of the pelitic rocks of the Snyder group in the contact aureole of the Kiglapait layered intrusion, Labrador: effects of buffering partial pressure of water // Can. J. Earth Sci. 1982. V. 19. P. 1888–1909.
- Watson B.F., Fujita K.* Tectonic evolution of Kamchatka and the Sea of Okhotsk and implications for the Pacific Basin. Tectonostratigraphic terranes of the Circum-Pacific region // Circum-Pacific Council for Energy and Mineral Resources. Ed. D.G. Howell. Earth Sciences Series. Houston, Texas, USA, 1985. V. 1. P. 333–348.